

Penggunaan untuk kepentingan akademik

penelitian, dan pendidikan diperbolehkan dengan mencantumkan sumber

pelanggaran hak cipta dapat dikenakan sanksi sesuai dengan UU Hak Cipta di Indonesia

BAB 2

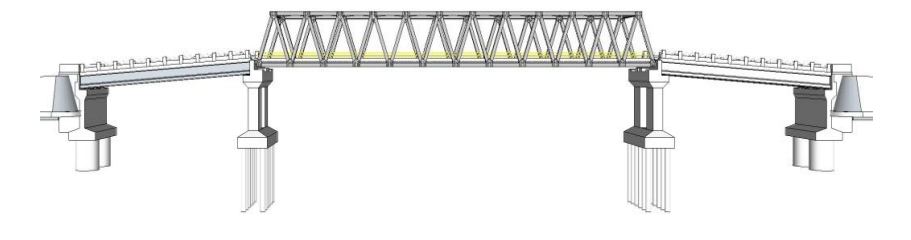
TINJAUAN PUSTAKA

2.1 Pengertian Jembatan

Jembatan rangka baja adalah jenis jembatan yang dibangun menggunakan baja, di mana elemen-elemen strukturnya saling terhubung membentuk sistem rangka yang berfungsi mendistribusikan beban yang bekerja di seluruh struktur jembatan. Seiring dengan kemajuan teknologi dan kebutuhan konstruksi, jembatan rangka baja telah dirancang dalam berbagai bentuk dan konfigurasi.

Menurut Supriyadi dan Muntohar (2007:16), jembatan adalah struktur yang memungkinkan jalan melintasi rintangan fisik seperti sungai, jalur air, lembah, atau jalan lain dengan perbedaan elevasi. Secara umum, fungsi utama jembatan adalah untuk memastikan kelancaran arus lalu lintas. Oleh karena itu, proses perencanaan dan perancangan memerlukan pertimbangan berbagai aspek, termasuk kebutuhan transportasi, persyaratan teknis, serta nilai estetika dan arsitektur. Ketiga aspek tersebut meliputi: aspek lalu lintas, aspek teknis, dan aspek estetika.

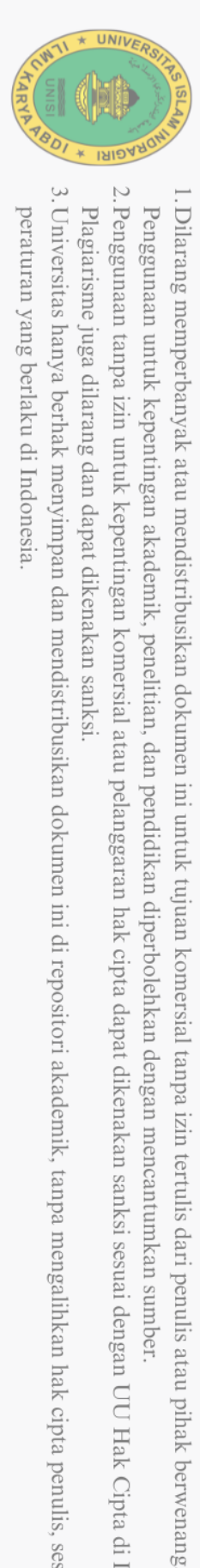
Pada mulanya jembatan hanya dipakai untuk menghubungkan dua tempat terpisah dengan jarak yang relatif pendek. Seiring dengan perkembangannya, jembatan dapat dipakai untuk menghubungkan tempat terpisah pada jarak yang berjauhan bahkan sampai menyeberangi laut. Dengan demikian meningkatnya teknologi dan fasilitas pendukung seperti komputer, bentangan bukan merupakan kendala lagi. Jembatan merupakan suatu infrastruktur yang dapat menyatukan daerah/tempat yang terpisah. Jembatan tipe Warren murni merupakan tipe jembatan rangka baja yang umum digunakan, dimana jembatan ini memiliki tiga komponen yang saling membentuk segitiga sama sisi (DR. Ir. Bambang Supriyadi dan Agus Setyo Muntohar, ST., 2007: 18).



Gambar 2. 1 Jembatan Tipe Warren Truss (Sumber: Kreteria Perencanaan Jembatan dan Pembebanan hal 3)

Universitas Islam Indragiri

penelitian, dan pendidikan diperbolehkan dengan mencantumkan sumber.



Penggunaan untuk kepentingan akademik.

2.2 Kreteria Desain Jembatan

Kriteria desain menjelaskan secara singkat mengenai peraturan-peraturan, standarstandar yang digunakan, asumsi pembebanan, jenis dan mutu bahan/material struktur, sistem struktur atas dan struktur bawah/pondasi, analisa/modelisasi struktur, anggapananggapan yang digunakan.

2.2.1 Prinsip-Prinsip Perencanaan

Suatu jembatan yang baik adalah jembatan yang memiliki atau telah rnemenuhi kriteria kriteria desain yang menjadi dasar dari pembuatan sebuah jembatan. Jembatan direncanakan untuk mudah dilaksanakan serta memberikan manfaat bagi pengguna lalu lintas sesuai dengan pokok-pokok perencanaan:

- a. Kekuatan dan Stabilitas Struktur: Unsur-unsur tersendiri harus mempunyai kekuatan memadai untuk menahan beban ULS (Ultimate Limit State) - keadaan batas ultimate, dan struktur sebagai kesatuan keseluruhan harus berada stabil pada pembebanan tersebut. Beban ULS didefenisikan sebagai beban beban yang mempunyai 5% kemungkinan terlampaui selama umur struktur rencana.
- b. Kenyaman dan Keamanan: Bangunan bawah dan pondasi jembatan harus berada tetap dalam keadaan layan pada beban SLS (Serviceability Limit State) - keadaan batas kelayanan. Hal ini berarti bahwa struktur tidak boleh mengalami retakan, lendutan atau getaran sedemikian sehingga masyarakat menjadi khawatir atau jembatan menjadi tidak layak untuk penggunaan atau mempunyai pengurangan berarti dalam umur kelayanan. Pengaruh-pengaruh tersebut tidak diperiksa untuk beban ULS (Ultimate Limit State), tetapi untuk beban SLS (Serviceability Limit State) yang lebih kecil dan lebih sering terjadi dan didefenisikan sebagai bebanbeban yang mempunyai 5% kemungkinan terlampaui dalam satu tahun.
- c. Kemudahan (pelaksanaan dan pemeliharaan) : Pemilihan rencana harus mudah dilaksanakan. Rencana yang sulit dilaksanakan dapat menyebabkan pengunduran tak terduga dalam proyek dan peningkatan biaya, sehingga harus dihindari sedapat mungkin.
- d. Ekonomis :Rencana termurah sesuai pendanaan dan pokok-pokok rencana lainnya adalah umumnya terpilih. Penekanan harus diberikan pada biaya umur total struktur yang mencakup biaya pemeliharaan, dan tidak hanya pada biaya permulaan konstruksi.

Universitas Islam Indragiri

5

penelitian, dan pendidikan diperbolehkan dengan mencantumkan sumber.



Penggunaan untuk kepentingan akademik

e. Keawetan dan kelayanan jangka panjang: Bahan struktural yang dipilih harus sesuai dengan lingkungan, misalnya jembatan rangka baja yang digalvanisasi tidak merupakan bahan terbaik untuk penggunaan dalam lingkungan laut agresif garam yang dekat pantai.

2.2.2 Parameter Perencanaan

Dalam merencanakan jembatan dibutuhkan parameter untuk dapat menentukan tipe bangunan atas, bangunan bawah dan pondasi, lokasi/letak jembatan, material.

2.2.2.1 Umur Rencana Jembatan

Umur rencana jembatan standar adalah 50 tahun dan jembatan khusus adalah 100 tahun. Umur rencana untuk jembatan permanen minimal 50 tahun. Umur rencana dipengaruhi oleh material/bahan jembatan dan aksi lingkungan yang mempengaruhi jembatan. Jembatan dengan umur rencana lebih panjang harus direncanakan untuk aksi yang mempunyai periode ulang lebih panjang.

Tabel 2. 1 Hubungan antara periode ulang dengan umur rencana

	14	Pereode Ulang (Tahun)		
No	Umur Rencana	Keadaan Batas Layan	Keadaan Batas Ultimate	
1	50	20	1000	
2	100	20	2000	

(Sumber: Kriteria Perencanaan Jembatan dan Pembebanan Hal.3)

2.2.2.2 Geometrik

Lebar jembatan ditentukan berdasarkan kebutuhan kendaraan yang lewat setiap jam, makin ramai kendaraan yang lewat maka diperlukan lebar jembatan lebih besar.

Tabel 2.2 Penentuan Lebar Jembatan

LHR	Lebar Jembatan (m)	Jumlah Jalur
LHR <2000	3,5-4,5	1
2000 <lhr<3000< td=""><td>4,5-6,0</td><td>2</td></lhr<3000<>	4,5-6,0	2
3000 <lhr<8000< td=""><td>6,0-7,0</td><td>2</td></lhr<8000<>	6,0-7,0	2
8000 <lhr<20000< td=""><td>7,0-14,0</td><td>4</td></lhr<20000<>	7,0-14,0	4
LHR >20000	>14,0	>4

(Sumber : Kriteria Perencanaan Jembatan dan Pembebanan Hal.3)

Untuk memberikan keamanan dan kenyamanan bagi pemakai jembatan, maka lebar lantai jembatan ditentukan sebagai berikut:

penelitian, dan pendidikan diperbolehkan dengan mencantumkan sumber.

izin tertulis dari

penulis atau pihak berwenang



- Lebar jembatan minimum jalan nasional kelas A adalah l+7+ I meter a.
- Kelas B = 0.5 + 6.0 + 0.5 meter b.
- Tidak boleh lebih kecil dari lebar jalan. c.
- Hak Memenuhi standar lebar lajur lalu lintas sebesar n (2,75 - 3,50) m, d. Cipta Dilindungi dimana n = jumlah lajur lalu lintas.

2.2.2.3 Kemiringan Oprit Jembatan

Kemiringan melintang lantai jembatan adalah 2%. Kemiringan memanjang jembatan adalah tanjakan atau turunan pada saat melalui jembatan. Perbandingan kemiringan dari tanjakan serta turunan tersebut disyaratkan sebagai berikut:

- Perbandingan 1: 30 untuk kecepatan kendaraan > 90 km/jam
- Perbandingan 1: 20 untuk kecepatan kendaraan 60 s/d 90 km/jam b.
- Perbandingan 1: 10 untuk kecepatan kendaraan < 60 km/jam c.

Jembatan pada ruas jalan nasional dengan kemiringan memanjang jembatan maksimum adalah 1 : 20 atau 5%. Ketentuan tersebut di atas menyatakan bahwa semakin besar kecepatan kendaraan, maka semakin landai pula tanjakan atau turunan yang diberikan pada jembatan. Hal ini memang diberikan dengan tujuan agar pada saat kendaraan akan masuk ke badan Jembatan kendaraan tersebut tidak "jumping", yang secara otomatis akan memberikan beban kejut tumbukan vertikal pada struktur jembatan. Struktur Jembatan tidak diperhitungkan terhadap beban tumbukan akibat jumping kendaraan.

2.2.2.4 Ruang Bebas Vertikal dan Horizotal

Ruang bebas adalah jarak jagaan yang diberikan untuk menghindari rusaknya struktur atas jembatan karena adanya tumbukan dari benda-benda hanyutan atau benda yang lewat di bawah jembatan. Clearance (ruang bebas) vertikal diukur dari permukaan air banjir sampai batas paling bawah struktur atas jembatan. Besamya clearance bervariasi, tergantung dari jenis sungai dan benda yang ada di bawah jembatan. Nilai ruang bebas di bawah jembatan ditentukan sebagai berikut: C = 0.5 m; untuk jembatan di atas sungai pengairan C = 1.0 m; untuk sungai alam yang tidak membawa hanyutan. C = 1.5 m; untuk sungai alam yang membawa hanyutan ketika banjir C = 2.5 m; untuk

sungai alam yang tidak diketahui kondisinya. C = 5,1 m; untuk jembatan jalan layang.

C ≥ 15 m; untuk jembatan di atas laut dan di atas sungai yang digunakan untuk alur

penelitian, dan pendidikan diperbolehkan dengan mencantumkan sumber

pelanggaran hak cipta dapat dikenakan sanksi sesuai dengan UU Hak Cipta di Indonesia

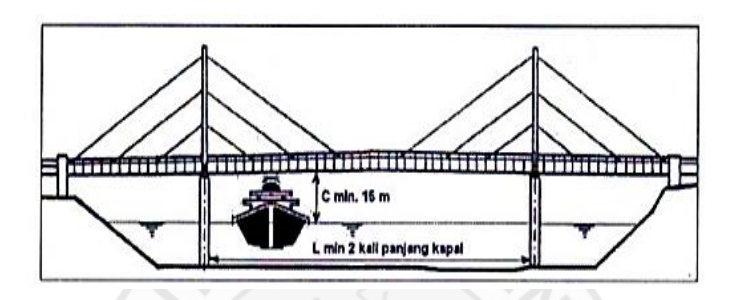


Penggunaan tanpa izin untuk kepentingan komersial atau

Penggunaan untuk kepentingan akademik

pelayaran. jenis sungainya, jalan : 5 m, laut 15 m). Horizontal clearance ditentukan berdasarkan kemudahan navigasi kapal ditentukan US Guide Specification, horizontal clearance minimum adalah:

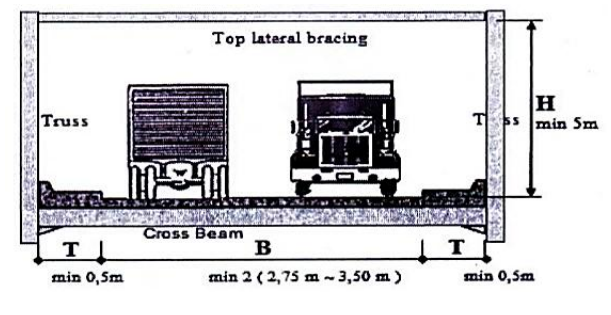
- 3 kali panjang kapal rencana, atau
- kali lebih besar dari lebar channel



Gambar 2. 2 Clearance pada Jembatan (Sumber: Kriteria Perencanaan Jembatan dan Pembebanan Hal.5)

2.2.2.5 Tinggi Jembatan

Pemberian syarat bidang datar dari permukaan jalan yang menghubungkan antara jalan dengan jembatan dilakukan untuk meredam energi akibat tumbukan dari kendaraan yang akan melewati jembatan. Bila hal ini tidak diberikan, dikhawatirkan akan berakibat pada rusaknya struktur secara perlahan-lahan akibat dari tumbukan kendaraan-kendaraan terutama kendaraan berat seperti truk atau kendaraan berat lainnya. Energi kejut yang diberikan pada strukur akan meruntuhkan struktur atas, seperti gelagar dan juga lantai kendaraan. Tentu saja untuk menguranginya maka diberikan jarak berupa jalan yang datar mulai dari kepala jembatan sejauh minimum 5 meter ke arah jalan yang diberi struktur pelat injak untuk pembebanan peralihan dari jalan ke jembatan.



Gambar 2. 3 Porongan melintang Jembatan (Sumber : Kriteria Perencanaan Jembatan dan Pembebanan Hal.6)

Jniversitas Islam Indragiri

penelitian, dan pendidikan diperbolehkan dengan mencantumkan sumber.

tertulis dari

penulis atau pihak berwenang.

pelanggaran hak cipta dapat dikenakan sanksi

sesuai dengan UU Hak Cipta di Indonesia

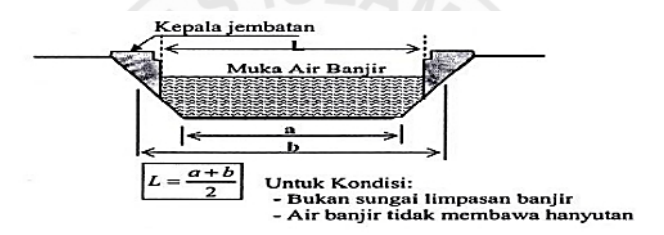


Penggunaan tanpa izin untuk kepentingan komersial atau

Penggunaan untuk kepentingan akademik

2.2.2.6 Penentuan Bentang

Ada 2 (dua) cara dalam menentukan bentang dalam pembangunan jembatan, yaitu untuk sungai yang merupakan limpasan banjir dan sungai yang bukan limpasan banjir. Hal tersebut dilakukan karena berdasar pada apakah alur sungai itu akan membawa hanyutan-hanyutan berupa material dari banjir dari suatu kawasan, atau sungai tersebut hanyalah digunakan sebagai aliran sungai biasa yang tentunya tidak membawa hanyutan-hanyutan besar dari banjir. Material-material yang dibawa pada saat banjir sangat beraneka ragam tentunya, baik jenis maupun ukurannya sangatlah bervariasi. Undang-Undang Oleh sebab itu, pada sungai yang dijadikan limpasan banjir penentuan bentang akan sedikit lebih panjang dibandingkan dengan sungai yang bukan limpasan banjir.



Gambar 2.7. Bentang jembatan untuk bukan sungai limpasan



Gambar 2. 4 Bentang Jembatan Untuk Sungai Limpasan Banjir

(Sumber : Kriteria Perencanaan Jembatan dan Pembebanan Hal.3)

2.3 Pembebanan

Dalam perancangan jembatan ini, semua beban dan gaya yang bekerja pada struktur dianalisis dan dihitung sesuai dengan Standar Nasional Indonesia (SNI) 1725:2016 tentang Pembebanan Jembatan. Jenis beban yang digunakan dalam perhitungan meliputi:

Tabel 2.3 ringkasan aksi-aksi rencana

	Pasal	Ak	csi	Lamanya	Faktor 1	Beban Pada I	Keadaan Bebas
	No	Nama	Simbol	Waktu	Daya	1	Ultimit
U)					Layan	Normal	Terkurangi
ivers	5.2	Beban	Pms	Tetap	1,0	*(3)	*(3)
itas Is		Sendiri					



peraturan yang berlaku di Indonesia.

5.3 Tetap 1,0/1,3 0,7/0,8 Beban Mati Pma 2,0/1,4 Tambahan Tetap 5.4 Penyusutan Psr 1 1 N/A Hak Cipta Dilindungi ∪ndang-∪ndang & Rangkak Tetap N/A 5,5 Prp 1 1 Prategang *(3) *(3) 5.6 Tekanan Tetap 1 Pta Tanah Tetap 1,25 5.7 Ppl 1 0,8 Beban Pelaksanaan Tetap 6.3 Beban Lalu Ttd Tran 1// 1,8 N/A Lintas "D" N/A 6.4 Beban Truk Ttt Tran 18 1,8 "T" Tran N/A 6.7 Gaya Rem Ttb 1 1,8 Ttr Tran N/A 6.8 Gaya 1 1,8 Sentrifugal 6.9 N/A Beban Ttp Tran 1,8 trotoar N/A 6.10 Ttc Tran *(3) *(3) Beban Tumbukan Tetap N/A 7.2 Pes 1 N/A Penurunan 7.3 Tet Tran 1 Temperatur 1,2 0,8 7.4 Aliran / Ter Tran *(3) N/A 1 Benda Hanyut 7.5 Hidro / Teu Tran 1 1 1 Daya Apung niversitas Islam Indragiri Angin Tew Tran 1 1,2 N/A 7.6

Tran

Teq

N/A

1

7.7

Gempa

N/A

^{3.} Universitas hanya berhak menyimpan dan mendistribusikan dokumen ini di repositori akademik, tanpa mengalihkan hak cipta penulis, sesuai dengan 1. Dilarang memperbanyak atau mendistribusikan dokumen ini untuk tujuan komersial tanpa izin tertulis dari penulis atau pihak berwenang . Penggunaan tanpa izin untuk kepentingan komersial atau pelanggaran hak cipta dapat dikenakan sanksi sesuai dengan UU Hak Cipta di Indonesia. Plagiarisme juga dilarang dan dapat dikenakan sanksi Penggunaan untuk kepentingan akademik, penelitian, dan pendidikan diperbolehkan dengan mencantumkan sumber.



penelitian, dan pendidikan diperbolehkan dengan mencantumkan sumber

sesuai dengan UU Hak Cipta di Indonesia



Penggunaan tanpa izin untuk kepentingan komersial atau

Penggunaan untuk kepentingan akademik.

8.1	Gesekan	Tiv	Tran	1	1,3	0,8
8.2	Getaran	Tvi	Tran	1	N/A	N/A
8.3	Pelaksanaan	Tcl	Tran	*(3)	*(3)	*(3)

(Sumber: SNI 1725-2016; hal: 14)

2.3.1 Beban Primer

Beban primer adalah beban utama yang digunakan sebagai dasar perhitungan tegangan dalam desain struktur jembatan. Beban-beban ini terdiri dari:

2.3.1.1 Beban Berat Sendiri

Adapun beban yang berasal dari berat sendiri jembatan atau bagian jembatan yang ditinjau.

Tabel 2. 4 Faktor Beban Sendiri

	Faktor Beban				
Jangka Waktu	Bahan	K U;MS;			
	Banan	Biasa	Terkurang		
	Baja Aluminium	1,1	0,9		
Tetap	Beton Pracetak	1,2	0,85		
	Beton di cor ditempat	1,3	0,75		
	Kayu	1,4	0,7		

(Sumber: SNI 1725-2016; hal: 14)

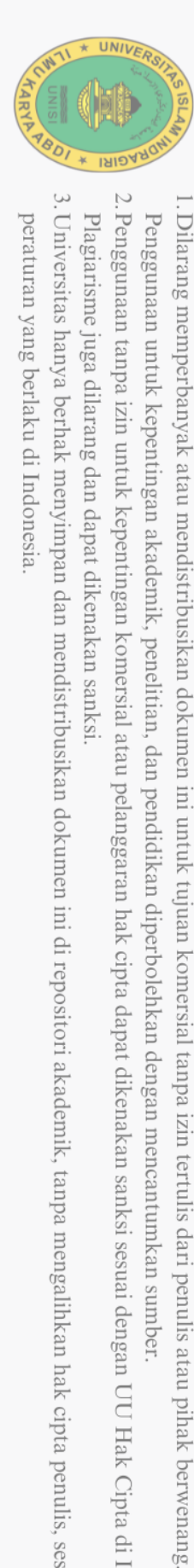
2.3.1.2 Beban Mati

Beban mati tambahan mengacu pada berat total elemen non-struktural yang berkontribusi terhadap beban pada jembatan. Beban ini tidak permanen dan dapat berubah selama masa pakai jembatan..

Tabel 2. 5 Berat isi untuk beban mati

No	Bahan	Berat/Satuan Isi	Kerapatan massa
		(kN/m^3)	(kg/m^3)
1	Campuran aluminium	26,7	2720
2	Lapisan permukaan beraspal	22,0	2240
3	Besi Tuang	71,0	2700
4	Timbunan tanah dipadatkan	17,2	760
5	Kerikil dipadatkan	18,2-22,7	1920-2320
6	Aspal Beton	22,0	2244
	1 2 3 4 5	Campuran aluminium Lapisan permukaan beraspal Besi Tuang Timbunan tanah dipadatkan Kerikil dipadatkan	(kN/m³) Campuran aluminium 26,7 Lapisan permukaan 22,0 beraspal Besi Tuang 71,0 Timbunan tanah dipadatkan 17,2 Kerikil dipadatkan 18,2-22,7

11



. Universitas hanya berhak menyimpan dan mendistribusikan dokumen ini di repositori akademik, tanpa mengalihkan hak cipta penulis, sesuai dengan peraturan yang berlaku di Indonesia Plagiarisme juga dilarang dan dapat dikenakan sanksi Penggunaan tanpa izin untuk kepentingan komersial atau pelanggaran hak cipta dapat dikenakan sanksi sesuai dengan UU Hak Cipta di Indonesia Penggunaan untuk kepentingan akademik, penelitian, dan pendidikan diperbolehkan dengan mencantumkan sumber.

7 Beton Ringan 12,25-19,6 1250-2000 8 Beton 22,0-25,6 2240-2560 9 **Beton Prategang** 25,0-26,0 2560-2640 10 Beton Betulang 23,5-25,5 2400-2600 11 Timbal 111 11400 12 12,5 1280 Lempung Lepas 13 Batu Pasang 23,5 2400 14 Neoprin 11,3 1150 15 Pasir Kering 16,7-17,2 1600-1760 16 Pasir Basah 18,0-18,8 18,0-18,8 17 Lumpur Lunak 17,2 1760 18 77,0 7850 Baja 19 Kayu Ringan 7,8 800 20 Kayu Keras 11 1120 21 Air murni 9.8 1000 22 10,0 Air Garam 1025 23 Besi tempa 75,5 7680

(Sumber: RSNI T-02-2005, hal:11)

2.3.1.3 Beban Lalu Lintas

Beban lalu lintas adalah beban yang dihasilkan oleh kendaraan yang disalurkan ke perkerasan jalan melalui interaksi antara permukaan ban dan permukaan jalan. Beban ini bersifat dinamis dan terjadi berulang kali sepanjang umur jalan...

Beban Lajur "TD"

Berdasarkan ketentuan dalam SNI 1725:2016, beban lajur jenis merupakan gabungan antara beban merata (BTR) dan beban terpusat (BGT).

Tabel 2. 6 Faktor Beban lajur "TD"

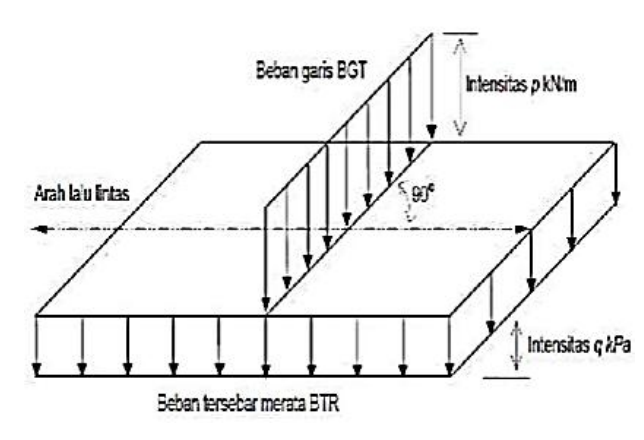
Jangka Waktu	Faktor Beban	
	Ys;:TD	Yu;:TD
Transien	1,0	1,8

(Sumber : SNI 1725-2016;hal : 39)



. Universitas hanya berhak menyimpan dan mendistribusikan dokumen ini di repositori akademik, tanpa mengalihkan hak cipta penulis, sesuai dengan Penggunaan untuk kepentingan akademik penelitian, dan pendidikan diperbolehkan dengan mencantumkan sumber. pelanggaran hak cipta dapat dikenakan sanksi sesuai dengan UU Hak Cipta di Indonesia

Universitas Islam Indragiri



Gambar 2. 5 Beban lajur "D (Sumber: SNI 1725-2016; hal: 39)

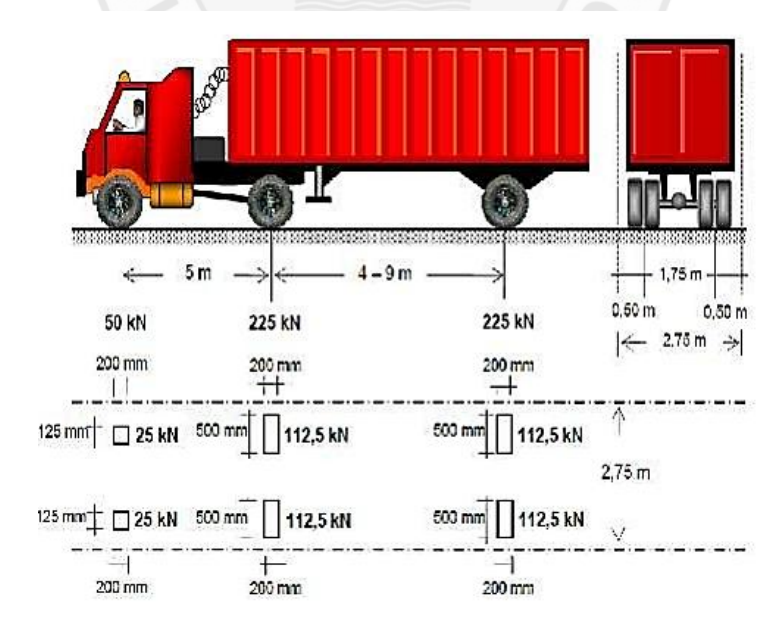
Hak Cipta Dilindungi Undang-∪ndang Beban Lajur "TT"

Merujuk pada SNI 1725:2016, pemuatan truk tipe "TT" dilakukan dengan mendistribusikan beban dari masing-masing as roda menjadi dua beban yang terdistribusi merata dan besarnya sama. Jarak antar ketiga as roda dapat divariasikan antara 4,0 meter dan 9,0 meter, untuk mendapatkan dampak maksimum pada struktur jembatan dalam arah memanjang.

Tabel 2.7 Faktor Beban lajur "T"

Jangka Waktu	F	Faktor Beban	
		Ks;:TT	Ku;:TT
Transien		1,0	1,8

(Sumber: SNI 1725-2016, hal: 41)



Gambar 2. 6 Pembebanan Truk "TT" (500 kN) (Sumber: SNI 1725-2016, hal:41)



c. Beban Pejalan Kaki (TP)

Trotoar yang dipasang pada

Trotoar yang dipasang pada

bangunan atas jembatan

Trotoar yang dipasang pada

bangunan atas jembatan

Luas Beban (m²)

Gambar 2. 7 Beban Pejalan Kaki (Sumber: SNI 1725-2016, hal:46)

Semua komponen trotoar yang lebih lebar dari 500 mm harus direncanakan untuk memikul beban pejalan kaki dengan intensitas 5 kPa dan dianggap bekerja secara bersamaan dengan beban kendaraan pada masing-masing lajur kendaraan. Jika trotoar dapat dinaiki maka beban pejalan kaki tidak perlu dianggap bekerja secara bersamaan dengan beban kendaraan. Jika ada kemungkinan trotoar berubah fungsi di masa depan menjadi lajur kendaraan, maka beban hidup kendaraan harus diterapkan pada jarak 250 mm dari tepi dalam parapet untuk perencanaan komponen jembatan lainnya. Dalam hal ini, faktor beban dinamis tidak perlu dipertimbangkan.

Tabel 2. 8 Faktor Beban Pejalan Kaki

Jangka Waktu	Faktor Beban		
sungau vi untu	Ks:;TP;	K u;:TP	
Transien	1,0	1,8	

(Sumber: SNI 1725-2016, hal:46)

d. Gaya Rem

Universitas Islam Indragiri

Pengaruh gaya longitudinal di sepanjang jembatan akibat gaya pengereman perlu dipertimbangkan secara cermat. Gaya ini dihitung sebesar 5% dari beban mati (beban "D") tanpa memperhitungkan koefisien kejut, yang berlaku untuk semua lajur lalu lintas dalam satu arah, dan 25% dari berat truk rencana. Gaya pengereman diasumsikan bekerja secara horizontal sepanjang sumbu jembatan dengan titik penerapan pada ketinggian 1,80 meter di atas permukaan lantai kendaraan. Beban lajur tipe D tidak berkurang jika bentang jembatan melebihi 30 meter, dengan menggunakan rumus: q = 9kPa

. Dilarang memperbanyak atau mendistribusikan dokumen ini untuk tujuan komersial tanpa izin tertulis dari penulis atau pihak berwenang Plagiarisme juga dilarang dan dapat dikenakan sanksi Penggunaan tanpa izin untuk kepentingan komersial atau Penggunaan untuk kepentingan akademik penelitian, dan pendidikan diperbolehkan dengan mencantumkan sumber. pelanggaran hak cipta dapat dikenakan sanksi sesuai dengan UU Hak Cipta di Indonesia

Hak Cipta Dilindungi Undang-Undang

penelitian, dan pendidikan diperbolehkan dengan mencantumkan sumber

. Dilarang memperbanyak atau mendistribusikan dokumen ini untuk tujuan komersial tanpa izin tertulis dari

Penggunaan untuk kepentingan akademik



Tabel 2. 9 Faktor Beban akibat gaya rem

	Jangka Waktu	Faktor Beban	
		Ks;:TB	Ku;:TB
Hak	Transien	1,0	1,8

(Sumber: SNI 1725-2016, hal:46)

2.3.2 Beban Sekunder

Beban sekunder adalah beban sementara yang secara konsisten diperhitungkan dalam analisis tegangan untuk setiap desain struktur jembatan. Beberapa jenis beban yang termasuk dalam kategori beban sekunder meliputi:

2.3.2.1 Beban Gempa

Desain jembatan harus meminimalkan kemungkinan keruntuhan akibat gempa bumi, meskipun kerusakan signifikan dan gangguan pada fungsi layanan masih mungkin terjadi. Dalam beberapa keadaan, penggantian sebagian atau seluruh elemen struktur mungkin diperlukan. Tingkat kinerja yang lebih tinggi, seperti kinerja operasional pascagempa bumi, dapat ditentukan oleh otoritas yang berwenang.

Gaya seismik dihitung sebagai gaya horizontal yang diperoleh dari perkalian koefisien respons elastis (Csm) dan berat struktur ekivalen, yang kemudian dimodifikasi oleh faktor modifikasi respons (Rd), sebagai berikut:

$$E_Q = \frac{C_{SM}}{R_D} x \ W_t$$

Dimana:

EQ adalah gaya gempa horizontal statis (kg)

Csm adalah koefisien respons gempa elastis

Rd adalah faktor modifikasi respons

Wt adalah berat total struktur terdiri dari beban mati dan beban hidup yang sesuai (kg)

Koefisien respons elastis (Csm) diperoleh melalui analisis peta percepatan batuan dasar dan spektrum percepatan yang relevan dengan wilayah gempa dan periode perulangan gempa yang direncanakan. Koefisien percepatan yang dihasilkan dari peta gempa kemudian dikalikan dengan faktor amplifikasi yang memperhitungkan kondisi tanah hingga kedalaman 30 meter di bawah struktur jembatan.

Universitas Islam Indragiri

penulis atau pihak berwenang



penelitian, dan pendidikan diperbolehkan dengan mencantumkan sumber.

pelanggaran hak cipta dapat dikenakan sanksi sesuai dengan UU Hak Cipta di Indonesia



Penggunaan tanpa izin untuk kepentingan komersial atau

Penggunaan untuk kepentingan akademik,

2.3.2.2 Beban Angin

Gaya nominal maksimum yang timbul akibat beban layanan jembatan akibat pengaruh angin bergantung pada kecepatan angin desain, yang dijelaskan sebagai berikut:

Tabel 2. 10 Faktor beban angin

		1 40 C1 2. 10 1 411 C01 0 C	our ungin
pta L	Jangka Waktu		Faktor Beban
illind		Ks;:EW	Ku;:EW
rgan	Transien	1,0	1,2

(Sumber: SNI 1725-2016, hal:56)

Undang-Undang Gaya nominal ultimit dan daya layan jembatan akibat angin tergantung kecepataan angin rencana yang dijelaskan sebagai berikut:

$$TEW = .0,0006.Cw.(Vw)^2Ab$$
(2.1)

Dengan pengertian:

Vw adalah Kecepatan angin rencana (m/s)

Cw adalah koefisien seret

Ab adalah luas koefisien bagian samping jembatan (m²)

- Untuk jembatan rangka luas ekivalen ini dianggap 30 % dari luas yang dibatasi oleh batang-batang bagian terluarTabel 2.11 Faktor Beban akibat gaya rem
- Apabila suatu kendaran sedang berada diatas jembatan beban garis merata c. tambahan arah horizontal harus diterapkan pada permukaan lantai seperti diberikan dengan rumus:

$$TEW = 0,0006 \text{ Cw } (Vw)^2 \text{Ab} \dots (2.2)$$

Dengan pengertian = 1,2

Tabel 2. 11 Koefisen seret Cw

Tipe Jembatan	Cw
Bangunan Atas Masif	
b/d=1,0	2.1
b/d = 2	1.5
b/d >= 6	1.25
Bangunan Atas Rangka	1.2

Universitas Islam Indragiri



. Universitas hanya berhak menyimpan dan mendistribusikan dokumen ini di repositori akademik, tanpa mengalihkan hak cipta penulis, sesuai dengan . Dilarang memperbanyak atau mendistribusikan dokumen ini untuk tujuan komersial tanpa izin tertulis dari penulis atau pihak berwenang peraturan yang berlaku di Indonesia Plagiarisme juga dilarang dan dapat dikenakan sanksi Penggunaan tanpa izin untuk kepentingan komersial atau Penggunaan untuk kepentingan akademik penelitian, dan pendidikan diperbolehkan dengan mencantumkan sumber. pelanggaran hak cipta dapat dikenakan sanksi sesuai dengan UU Hak Cipta di Indonesia.

∪ndang-Undang

niversitas Islam

Catatan:

b= Lebar Keseluruhan Jembatan di hitung dari sisi luar sandaran

d= Tinggi Bangunan atas,termasuk tinggi bagian sandaran yang masif

(Sumber: SNI 1725-2016, hal:56)

2.3.2.3 Kombinasi Beban

Hak Cipta Dilindungi Kombinasi beban pada kondisi batas ultimit terdiri dari jumlah efek aksi permanen dan satu jenis aksi sementara. Ringkasan kombinasi beban yang umum digunakan disajikan dalam tabel berikut:

Tabel 2. 12 Kombinasi Beban Umum dan Ultimit

Aksi	Kelayanan						Ultimit					
AKSI	1	2	3	4	5	6	1	2	3	4	5	6
Aksi Permanan:		5	//	3/19	ييري	-01	11		0		I	
-Berat Sendiri	15	5/	->				A	0	1			
-Beban Mati		///	J.	6		1		8.	1/2	≥ 1		
Tambahan					9	XG				T.		
-Susut rangkak				T		<u></u>	ľ			J		
- Pratekan	X	X	X	X	X	X	X	X	X	X	X	X
- Pengaruh beban	K	\		V	X	TO				*		
tetap pelaksanaan					7				/_			
- Tekanan tanah									6			
- Penurunan		1		U	Ν	IS		10	5			
Aksi Transien:	I							P		I	I	
Beban "D"	X	О	0	O	0	SX	X	0	О	О	О	
Beban "T"												
Gaya Rem	X	О	О	О	0			X				
Beban Pejalan Kaki		X							X			
Gesekan Perletakan	О	О	X	О	0	0	0	О	О	0		О
Pengaruh Suhu	О	О	X	О	О	О	О	О	О	О		О
Aliran / Hanyutan	О		О	X	О	О	О		X	О		О
Beban Angin			О	О	X	О	О		О	X		О
Aksi Khusus :							1	1			l	

penelitian, dan pendidikan diperbolehkan dengan mencantumkan sumber



Penggunaan untuk kepentingan akademik

	Gempa	a											X	
	Beban	tumbukan												
	Penga	ruh getaran	X	X										
Hak (Beban	pelaksanaan						X						X
Cipta				(S	umb	er SN	VI 17	25-2	016,1	nal 1	1)	I		
Dilli	K	eterangan :												
ilindung	a.	Dalam kondi	si ba	tas k	eman	npua	n lay	an ya	ang t	ercar	tum	dala	m tal	el in
,i		yang ditanda	i der	ngan	"X"	untu	k ko	mbin	asi t	erten	tu di	ması	ıkkaı	n me
ndang-		faktor beban	ker	namp	ouan	laya	n pe	nuh.	Tin	daka	n ya	ng d	litano	lai d
<u> </u>		dimasukkan d	denga	an fa	ktor l	beba	n ker	namp	ouan	layaı	n yan	ıg dik	kuran	ıgi.
ndang	b.	Dalam kond	isi b	atas	ultin	nit y	ang	terca	ntun	dal	am 1	tabel	ini,	tind

Keterangan:

- a. Dalam kondisi batas kemampuan layan yang tercantum dalam tabel ini, tindakan yang ditandai dengan "X" untuk kombinasi tertentu dimasukkan menggunakan faktor beban kemampuan layan penuh. Tindakan yang ditandai dengan "0" dimasukkan dengan faktor beban kemampuan layan yang dikurangi.
- b. Dalam kondisi batas ultimit yang tercantum dalam tabel ini, tindakan yang ditandai dengan "X" untuk kombinasi tertentu dimasukkan menggunakan faktor beban ultimit penuh. Tindakan yang ditandai dengan "0" dimasukkan dengan nilai yang dikurangi sama dengan beban kemampuan layan.
- c. Beberapa tindakan terus berubah secara bertahap seiring waktu. Oleh karena itu, kombinasi beban untuk tindakan-tindakan ini harus dianalisis menggunakan nilai desain maksimum dan minimum untuk menentukan dampak yang paling kritis..

2.4 Struktur Atas

Struktur atas jembatan merupakan komponen yang secara langsung menerima beban dari lalu lintas kendaraan, beban pejalan kaki, dan beban mati, kemudian menyalurkan beban tersebut ke struktur bawah jembatan.

2.4.1 Perencanaan Plat Lantai dan Trotoar

Pelat dek kendaraan merupakan elemen jembatan yang memberikan tumpuan langsung bagi kendaraan yang melintas. Dalam proposal tesis ini, pelat dek kendaraan direncanakan terbuat dari beton. Sebagai komponen yang berfungsi sebagai permukaan jalan jembatan, pelat dek harus memiliki ketebalan minimum (ts) yang memenuhi persyaratan berikut: $ts \ge 200 \text{ mm}$.

Perhitungan pembebanan plat lantai meliputi :

Beban pada pelat lantai terdiri dari beban mati, yang meliputi berat aspal, berat pelat lantai, dan berat air hujan; dari beban-beban ini diperoleh nilai QDLult. Sementara itu, beban hidup berasal dari kendaraan yang bergerak, terutama beban truk (T).

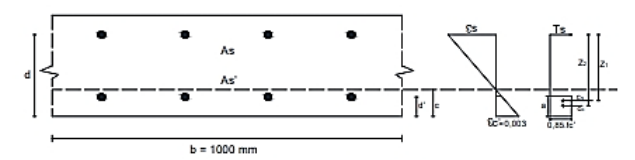


Hak Cipta Dilindungi Undang-Undang

. Dilarang memperbanyak atau mendistribusikan dokumen ini untuk tujuan komersial tanpa

penelitian, dan pendidikan diperbolehkan dengan mencantumkan sumber

b. Beban pada trotoar meliputi beban mati, yang terdiri dari berat lapisan trotoar, berat struktur trotoar itu sendiri, dan berat air hujan. Sementara itu, beban hidup meliputi beban yang timbul dari aktivitas pejalan kaki.Penulangan plat lantai kendaraan dan Trotoar.



Gambar 2. 8 Tulangan Rangkap pada plat lantai (Sumber : Akh.Taufik, Perencanaan struktur atas Jembatan Baja hal, 23) Dimana :

d = tebal plat lantai − selimut beton − ½ D tulangan

As
$$= (1/4 \times \pi \times D2 \times b) / \text{jarak yang direncanakan}$$

$$a = \frac{As.fy}{0.85.fc'.b}...(2.3)$$

Rumus tegangan tekan pada seret beton:

Rumus tegangan tekan pada seret baja:

$$Cs = As' (fs' - 0.85 \cdot fc)$$
(2.5)

Rumus kekuatan momen yang terjadi:

$$Mn = Cc \cdot Z1 + Cs \cdot Z2 \dots (2.6)$$

Rumus kekuatan momen rencana:

Mr =
$$\phi$$
.Mn, dimana ϕ = 0,8(2.7)

Kekuatan momen rencana (ϕ Mn) harus lebih besar atau sama dengan momen luar pada rencana (Mu)

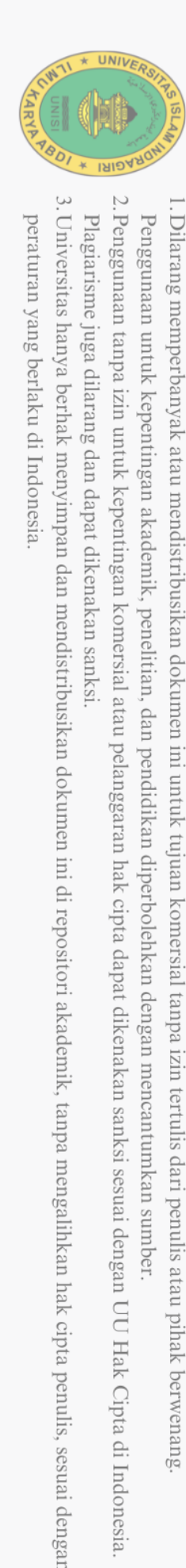
$$Mr = \phi Mn > Mu \qquad (2.8)$$

Mu diproleh dengan pendekatan aplikasi sap 2000

2.4.2 Perencanaan Gelagar Memanjang dan Melintang

Dalam desain struktur jembatan, terdapat balok memanjang dan balok melintang. Balok memanjang berfungsi untuk menopang beban yang disalurkan dari pelat lantai kendaraan, sedangkan balok melintang berperan dalam mendistribusikan beban dari balok memanjang ke struktur utama jembatan. Dalam desain ini, balok dirancang sebagai girder komposit menggunakan profil baja tipe WF, dan diasumsikan berfungsi sebagai balok dengan dua tumpuan. Perhitungan momen dilakukan berdasarkan kondisi setelah sistem komposit terbentuk.

penulis atau pihak berwenang



Penulangan gelagar

Lebar efektif pada pelat beton (bE) untuk gelagar interior (plat menumpu pada kedua sisi):

 $E = \frac{L}{4}.$ (2.9)

$$bE \le bo$$
(2.10)

$$bE \le bf + 16.ts$$
....(2.11)

Dimana:

= Lebar efektif pada beton

L = Panjang gelagar

= Jarak antara gelagar Bo

= Lebar profil Baja Bf

= tebal plat lantai Ts

Elastisitas:

E beton =
$$4700\sqrt{fc'}$$

$$E_{Baja} \quad = 2100000 \; kg/cm^2 \! = 210000 \; Mpa$$

$$n = \frac{E_{\mathsf{S}}}{E_{\mathsf{c}}} \tag{2.12}$$

(Sumber: CG. Salmon, JE. Jhonson. Struktur Baja Desain dan Perilaku, Jilid III, 1992 : 582)

Kontrol kelangsingan profil:

Untuk tekuk flens

$$\lambda f = \frac{B}{2.tf}....(2.13)$$

$$\lambda p = 0.38 \sqrt{\frac{E}{fy}} \tag{2.14}$$

Syarat : $\lambda f \leq \lambda p$ (berdasarkan SNI – 03 – 2005, HAL 31)

Untuk tekuk local badan balok

$$\lambda w = \frac{h}{tw} = \frac{H - 2(r + tf)}{tw} \tag{2.15}$$

$$\lambda p = \frac{1680}{\sqrt{fy}}...(2.16)$$

Syarat : $\lambda f \leq \lambda p$ Dimana :

tebal profil baja (mm)



. Dilarang memperbanyak atau mendistribusikan dokumen ini untuk tujuan komersial tanpa izin tertulis dari

penelitian, dan pendidikan diperbolehkan dengan mencantumkan sumber

penulis atau pihak berwenang



H = tinggi profil baja (mm)

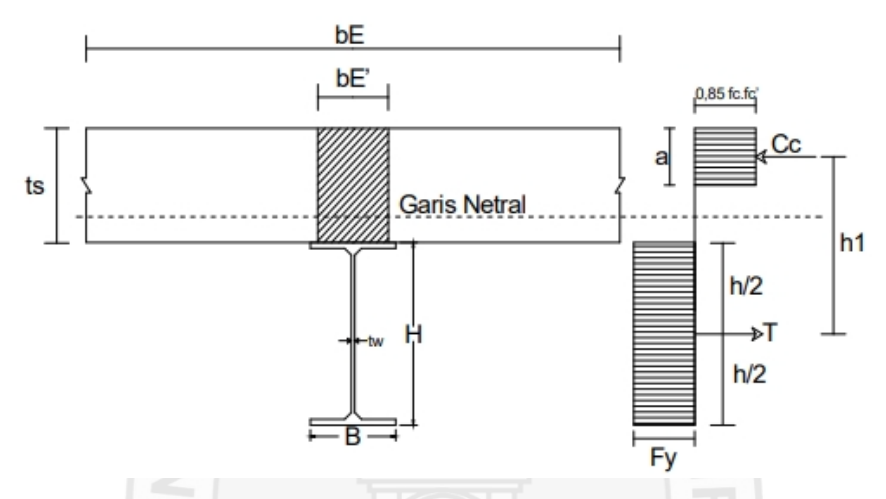
Tw = tebal web (mm)

Tf = tebal flens (mm)

Fy = mutu baja (mpa)

Fc = mutu beton (mpa)

(Setiawan, Agus. 2008 .Perencanaan struktur baja dengan metode LRFD. Penerbit Erlangga hal.85)



Gambar 2. 9 Disribusi tegangan plastis pada kekuatan momen nominal (Sumber : Akh.Taufik, Perencanaan struktur atas Jembatan Baja hal, 26)

Kontrol kekuatan penampang

$$Ya = \frac{\Sigma A.Y}{\Sigma A}...(2.17)$$

$$Yb = t + h - Ya$$
....(2.18)

 $\label{eq:maka} \mbox{Misalkan } Ya < tebal \ plat \ beton \ maka \ garis \ netral \ terletak \ pada \ plat \ beton.$ $\mbox{Berdasarkan persamaan keseimbangan } Gaya \ C = T, \ maka \ diperoleh:$

$$a = \frac{As.fy}{0.85.fc'.bE} \dots (2.19)$$

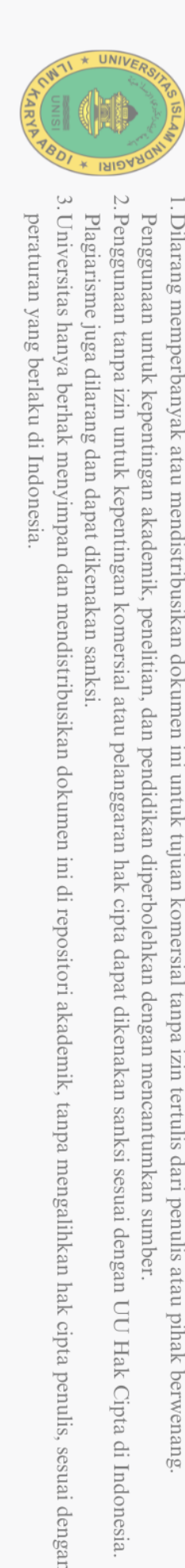
Tebal plat beton 250 mm > a = 92,744 mm, maka plat beton mampu mengimbangi gaya tarik As . fs yang timbul pada baja.

Tegangan tekan pada serat beton:

Tegangan Tarik seret baja

Maka kuat lentur nominal dari komponen struktur komposit adalah

$$Mn = Cc \cdot h_1$$
 (2.22)



kontrol kekuatan penampang:

 $\phi_b . Mn \ge Mu . \tag{2.23}$

Dimana:

 \emptyset b = factor resistensi untuk lentur (0,9)

 $\mathbf{H} \mathbf{M} \mathbf{n} = \mathbf{M} \mathbf{o} \mathbf{m} \mathbf{e} \mathbf{n} \mathbf{n} \mathbf{o} \mathbf{m} \mathbf{n} \mathbf{n} \mathbf{n} \mathbf{n}$

 \mathbf{M} Mu = Momen ultimit (kgm)

T = Tegangan tarik pada serat baja

Cc = Tegangan tekan pada serat beton

Besarnya lendutan maksimum akibat beban mati dan beban hidup adalah :

$$f=1360f = \frac{1}{360} \cdot L \tag{2.24}$$

(sumber: C.G. Salmon,, "struktur baja II", hal: 393)

Lendutan

Kontrol lendutan menggunakan Momen area a/ Luasan momen

$$\delta = \frac{M}{EI}....(2.25)$$

(sumber: Ir. V Sunggono kh, buku Teknik Sipi, halaman; 83)

Dimana:

f = besar lendutan yang terjadi

Ix = momen inersia (cm4)

E = modulus elastisitas bahan baja (MPa)

Kontrol kekuatan geser

 $V_n = 0.55 \text{ x d x tw x fy}....(2.26)$

Dimana:

Vn = kuat geser nominal plat badan (kg)

fy = tegangan leleh (Mpa)

d = tinggi profil baja (cm)

tw = tebal web baja (cm)

Shear Konektor

Jniversitas Islam Indragiri



peraturan yang berlaku di Indonesia

. Dilarang memperbanyak atau mendistribusikan dokumen ini untuk tujuan komersial tanpa izin tertulis dari penelitian, dan pendidikan diperbolehkan dengan mencantumkan sumber pelanggaran hak cipta dapat dikenakan sanksi sesuai dengan UU Hak Cipta di Indonesia

Universitas hanya berhak menyimpan dan mendistribusikan dokumen ini di repositori akademik, tanpa mengalihkan hak cipta penulis, sesuai dengan

Plat Beton Shear Conector C max ÐT max

Gambar 2. 10 Peremcanaan Shear conector (Sumber : Akh. Taufik, Perencanaan struktur atas Jembatan Baja hal, 28)

Untuk perhitungan gaya geser horizontal (Vh) mengguanakan rumus:

Cmax =
$$0.85 \text{ x f'c x } b_E \text{ x } t_s$$
 (2.27)

Dimana:

= gaya geser pada beton Cmax

Tmax = gaya geser yang ditimbulkan oleh profil baja

fc = kuat tekan beton (Mpa)

fy = tegangan leleh profil baja (Mpa)

= lebar slab efektif (cm) bΕ

= tebal slab (cm) ts

As = luas penampang lintang baja (cm)

Dari dua rumus diatas diambil nilai gaya geser yang lebih kecil, perhitungan kekuatan stud dan jumlah stud

Qn = 0,5 . Asc . Ec.
$$\sqrt{fc'.Ec}$$
....(2.29)

Dimana:

Qn = kekuatan geser stud (kg)

Asc = luas satu stud (cm²)

Ec = modulus elastisitas beton (Mpa)

Jumlah stad

$$n = Vh/Qn.....(2.30)$$
Dimana :
$$n = Jumlah stud$$

penulis atau pihak berwenang



(Setiawan, Agus. 2008 . Perencanaan struktur baja dengan metode LRFD. Penerbit Erlangga hal.299)

2.4.3 Perencanaan Gelagar Induk

Gelagar utama adalah elemen struktural utama yang terpasang di kedua sisi jembatan dan memanjang sepanjang jembatan. Komponen ini berfungsi untuk mendistribusikan semua beban yang bekerja pada jembatan, yang kemudian disalurkan melalui gelagar melintang. Dalam menganalisis desain gelagar utama, berbagai jenis beban harus dipertimbangkan dengan cermat, termasuk: Undang-Undang

Beban Mati

Terdiri dari berat sendiri gelagar induk, gelagar memanjang, gelagar melintang, plat lantai kendaraan, trotoar, ikatan angin dan sandaran

- Beban Hidup Pejalan kaki (trotoar) b.
- Beban "D" c.

Beban hidup yang ditinjau yaitu beban terbagi merata dan beban garis.

d. Gaya rem

. Dilarang memperbanyak atau mendistribusikan dokumen ini untuk tujuan komersial tanpa izin

penelitian, dan

pendidikan diperbolehkan dengan mencantumkan sumber

tertulis dari

penulis atau pihak berwenang

Penggunaan untuk kepentingan akademik.

- Beban Gempa e.
- Beban Akibat angin

Angin harus dianggap bekerja secara merata pada seluruh bangunan atas Beban yang bekerja ada dua macam:

 T_{EW1} = Gaya Akibat Tekanan Angin Pada Beban Hidup

 T_{EW2} = Gaya Akibat Tekanan Angin Pada Sisi rangka Jembatan.

Kombinasi Pembebanan

2.4.4 Perencanaan Ikatan Angin

Pengikat angin merupakan salah satu komponen struktural jembatan, yang utamanya bertanggung jawab untuk memberikan stabilitas dan kekakuan terhadap gaya horizontal. Komponen-komponen ini dapat ditempatkan di bagian atas, tengah, atau bawah struktur. Pengikat yang terletak di bagian atas disebut pengikat atas, yang di tengah disebut pengikat tengah, dan yang di bagian bawah disebut pengikat bawah.

2.4.5 Perencanaan Sambungan

Sambungan dalam suatu sistem struktur merupakan unsur yang tidak dapat diabaikan, sebab kegagalan pada bagian ini berpotensi menyebabkan kegagalan total pada keseluruhan struktur. Syarat-syarat sambungan :

Harus kuat, aman tetapi cukup hemat.

Islam

penelitian, dan pendidikan diperbolehkan dengan mencantumkan sumber



- Ditempat yang mudah terlihat, seharusnya dibuat seindah mungkin. b.
- Mudah dalam pelaksanaan pemasangan di lapangan. c.
- Pada satu titik sambungan sebaiknya dihindari penggunaan alat penyambung yang d. beda-beda.

Klasifikasi Sambungan:

- Hak Cipta Dilindungi Undang-Undang Sambungan momen kaku pada struktur rangka kaku diasumsikan memiliki kekakuan yang cukup untuk mempertahankan sudut antar elemen struktur yang terhubung. Deformasi pada pelat penghubung harus dirancang agar tidak memengaruhi distribusi gaya internal atau deformasi keseluruhan struktur.
 - Sambunga tidak kaku (sambungan semi-kaku) dalam struktur sederhana umumnya dianggap sebagai sambungan bebas momen pada kedua ujung elemen struktur. Jenis sambungan ini dirancang untuk memungkinkan titik putus guna menghasilkan rotasi yang diperlukan pada titik sambungan. Namun, sambungan ini tidak boleh menghasilkan momen lentur yang signifikan pada elemen struktur yang terhubung.

2.4.5.1 Perencanaan Sambungan Baut

Jenis sambungan yang diterapkan pada struktur jembatan ini adalah sambungan semi-kaku (sambungan pasak). Dalam desain jembatan tipe K-Truss, sambungan dirancang menggunakan baut mutu tinggi tipe A490. Persyaratan keselamatan yang ditentukan dalam metode LRFD untuk sambungan ini dirumuskan dalam persamaan berikut:

= factor resistansi (untuk konektor harga itu berkaitan dengan tipe kejadian, seperti 0,75 untuk retakan dalam tarik, 0,65 untuk geser pada baut berkekuatan tinggi, dan 0,75 untuk tumpu baut pada sisi lubang)

Rn = kekuatan satu penyambung

Pu = Beban terfaktor pada satu penyambung

Kekuatan Geser Desain Untuk Baut

Kekuatan desain ϕ Rn bila terdapat ulir pada bidang geser menurut LRFD (CG. Salmon, JE. Jhonson. Struktur Baja Desain dan Perilaku, Jilid 1, 1992 : 132) adalah :

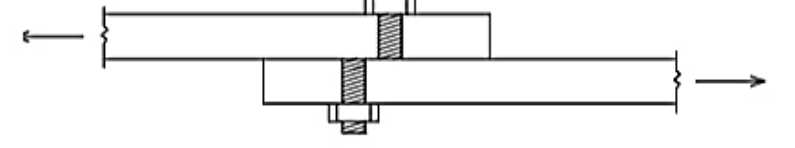
Universitas Islam Indragiri



Hak Cipta Dilindungi Undang-Undang

Plagiarisme juga dilarang dan dapat dikenakan sanksi Penggunaan tanpa izin untuk kepentingan komersial atau Penggunaan untuk kepentingan akademik penelitian, dan pendidikan diperbolehkan dengan mencantumkan sumber pelanggaran hak cipta dapat dikenakan sanksi sesuai dengan UU Hak Cipta di Indonesia

. Dilarang memperbanyak atau mendistribusikan dokumen ini untuk tujuan komersial tanpa izin tertulis dari penulis atau pihak berwenang



P

Gambar 2. 11 Kegagalan Geser buat

(Sumber : Akh. Taufik, Perencanaan struktur atas Jembatan Baja hal, 45) Kekuatan Tumpuan Desain Untuk Baut

Kekuatan desain ϕ Rn, berdasarkan kekuatan tumpu pada lubang baut menurut LRFD (CG. Salmon, JE. Jhonson. Struktur Baja Desain dan Perilaku, Jilid 1, 1992: 134) dibagi menjadi beberapa kategori:

1. Untuk kondisi baut biasa (lubang standar atau lubang beralur pendek, jarak ujung tidak kurang dari 1,5 D, dengan jarak baut dari pusat ke pusat tidak kurang dari 3 D, dengan dua atau lebih pada garis gaya), berlaku persamaan :

$$\phi Rn = \phi . (2,4 . d . t . Fu)$$

Dimana:

 $\phi = 0.75$, harga untuk baut terhadap sisi lubang

d = diameter nominal baut (bukan pada bagian ulir)

t = ketebalan bagian yang disambung (misalnya pelat)

Fu = kekuatan tarik baja untuk membentuk bagian yang disambung

2. Untuk lubang beralur pendek yang tegak lurus terhadap arah trasmisi beban, jarak ujung tidak kurang dari 1,5 D, dengan jarak baut dari pusat ke pusat tidak kurang dari 3 D, dengan dua atau lebih pada garis gaya, berlaku persamaan :

$$\phi Rn = \phi . (2,0 . d.t.Fu) (2.69)$$

Dimana:

 $\phi = 0.75$, harga untuk baut terhadap sisi lubang

3. Untuk baut yang paling berdekatan dengan pinggir dimana kondisi 1 dan 2 tidak terpenuh, berlaku persamaan:

$$\phi Rn = \phi \cdot (L \cdot t \cdot Fu)$$

Dimana : $\phi = 0.75$, harga untuk baut terhadap sisi lubang

pelanggaran hak cipta dapat dikenakan sanksi sesuai dengan UU Hak Cipta di Indonesia

Universitas Islam Indragiri



- . Dilarang memperbanyak atau mendistribusikan dokumen ini untuk tujuan komersial tanpa izin tertulis dari penulis atau pihak berwenang Penggunaan tanpa izin untuk kepentingan komersial atau Penggunaan untuk kepentingan akademik penelitian, dan pendidikan diperbolehkan dengan mencantumkan sumber.
- L = jarak ujung pada garis gaya, dari pusat suatu standar atau lubang berukuran lebih, atau dari pertengahan lebar lubang beralur pendek, sampai pinggiran bagian yang disambung
- 4. Bila perpanjangan lubang lebih besar dari 0,25 dapat dipergunakan persamaan :

$$\phi Rn = \phi . (3.0 . d . t . Fu)$$

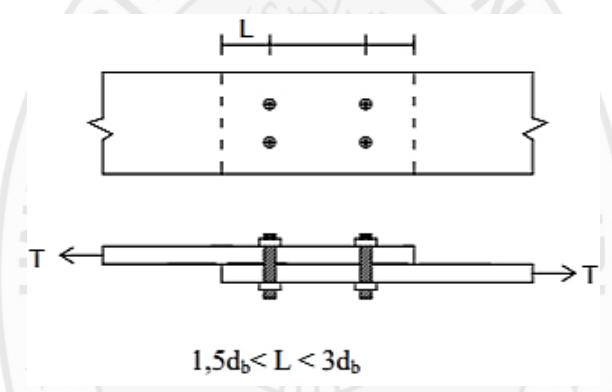
Dimana:

 $\phi = 0.75$, harga untuk baut terhadap sisi lubang

Hak Cipta Dilindungi Undang-Undang Jarak minimum Baut Pada Garis Transmisi gaya

Untuk jarak minimum L dari pusat penyambung sampai kepinggir luas berdekatan (CG. Salmon, JE. Jhonson. Struktur Baja Desain dan Perilaku, Jilid 1, 1992: 135):

$$L \ge \frac{Rn}{Fu.t} \tag{2.32}$$

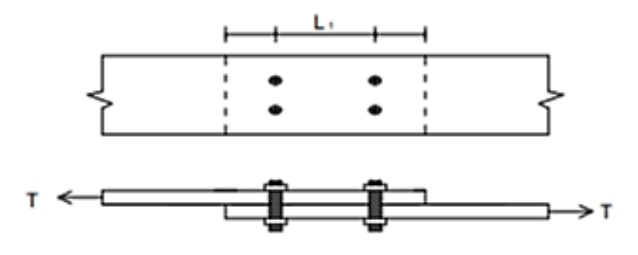


Gambar 2. 12 Jarak Baut dari pusat penyambung sampai ke pinggir luas berdekatan

(Sumber: Akh. Taufik, Perencanaan struktur atas Jembatan Baja hal, 47)

Berikutnya, menambahkan setengah diameter baut (db/2) ke persamaan akan menghasilkan jarak minimum antara pusat lubang baut:

Jarak antara baut
$$\geq \frac{Rn}{Fu.t} + \frac{Db}{2}$$
....(2.33)



Gambar 2. 13 Jarak buat dari pusat sampai ke pusat (Sumber: Akh. Taufik, Perencanaan struktur atas Jembatan Baja hal, 47)



. Dilarang memperbanyak atau mendistribusikan dokumen ini untuk tujuan komersial tanpa izin tertulis dari penulis atau pihak berwenang penelitian, dan pendidikan diperbolehkan dengan mencantumkan sumber. pelanggaran hak cipta dapat dikenakan sanksi sesuai dengan UU Hak Cipta di Indonesia

Karena Rn pada persamaan ini merupakan kekuatan nominal yang disyaratkan, yang nilainya setara dengan beban factor P, yang bekerja pada satu baut dibagi dengan faktor resistensi φ, maka persamaan terdapat dinyatakan sebagai berikut :

Jarak antara baut
$$\geq \frac{Rn}{\phi \cdot Fu \cdot t} + \frac{Db}{2}$$
 (2.33)

Dimana:

 $\phi = 0.75$, harga untuk kegagalan tarik atau sisi lubang pada pelat

P = beban terfaktor yang bekerja pada satu baut

Fu = kekuatan tarik dari bahan pelat

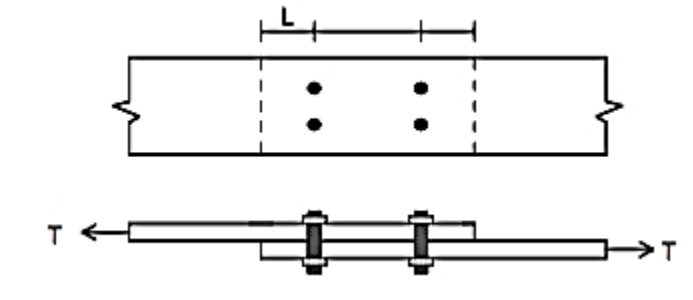
Db = diameter ludang baut Jarak minimum baut dalam satu garis lebih disukai sebesar 3 x diameter baut dan tidak boleh kurang dari 2 2 /3 x diameter baut

Jarak Ujung minimum pada Arah Transmisi Gaya

Jarak minimum L dari pusat penyambung sampai kepinggir luas

berdekatan:

$$L \ge \frac{Rn}{Fu.t}.\tag{2.34}$$



Gambar 2. 14 Jarak dari pusat penyambung sampai Kepinggir Luas berdekatan

(Sumber : Akh. Taufik, Perencanaan struktur atas Jembatan Baja hal, 48) Apabila kekuatan nominal yang disyaratkan merupakan beban terfaktor dibagi dengan faktor resistensi φ, maka persamaan tersebut dirumuskan sebagai berikut :

$$L \ge \frac{Rn}{\phi F u.t}.$$
 (2.35)

Dimana:

 $\phi = 0.75$, harga untuk kegagalan tarik atau sisi lubang pada pelat

P = beban terfaktor yang bekerja pada satu baut

Fu = kekuatan tarik dari bahan pelat

t = ketebalan pelat

Perhitungan Baut (n)

Universitas Islam Indragiri

penelitian, dan pendidikan diperbolehkan dengan mencantumkan sumber.



. Dilarang memperbanyak atau mendistribusikan dokumen ini untuk tujuan komersial tanpa izin tertulis dari penulis atau pihak berwenang Penggunaan tanpa izin untuk kepentingan komersial atau pelanggaran hak cipta dapat dikenakan sanksi sesuai dengan UU Hak Cipta di Indonesia Penggunaan untuk kepentingan akademik,

Dalam perencanaan sambungan, jumlah baut yang diperlukan dapat dihitung dengan menggunakan rumus berikut : Jumlah baut untuk sambungan (n)

$$n = \frac{P_u}{\phi \cdot R} \tag{2.36}$$

n = jumlah baut

Pu= Beban terfaktor yang bekerja pada satu baut (kg)

R= kekuatan (geser dan tumpu desain baut akan diambil hasil dari persamaan kuat desain baut yang nialinya lebih kecil), (kg)

Menentukan tebal plat simpul (t)

Untuk menghitung tebal plat simpul digunakan rumus :

$$t > \frac{p}{\phi \cdot Fu > L} \tag{2.37}$$

Dimana:

Hak Cipta Dilindungi Undang-Undang

P = beban terfaktor (cm)

 ϕ = factor retesistensi (0,75)

Fu = kekuatan tarik dari bahan pelat (kg/cm2)

L = jarak ujung minimum (cm)

t = tebal plat simpul (cm)

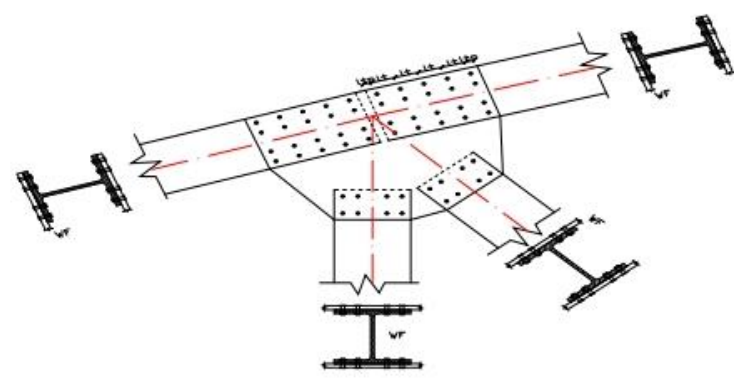


Gambar 2. 15 Sambungan Melintang dan Memanjang (Sumber : Akh. Taufik, Perencanaan struktur atas Jembatan Baja hal, 43)

penelitian, dan pendidikan diperbolehkan dengan mencantumkan sumber.



. Dilarang memperbanyak atau mendistribusikan dokumen ini untuk tujuan komersial tanpa izin tertulis dari penulis atau pihak berwenang Penggunaan untuk kepentingan akademik,



Gambar 2. 16 Sambungan Plat simpul gelagar induk (Sumber: Akh. Taufik, Perencanaan struktur atas Jembatan Baja hal, 58)

2.4.5.2 Perencanaan Sambungan Las

Ukuran las tumpul penetrasi penuh untuk sambungan tipe - T atau sambungan sudut adalah tebal bagian yang menumpu pada bagian yang lain. Panjang efektif las tumpul adalah jumlah dari panjang las ukuran penuh.Sementara itu, luas efektif las tumpul adalah perkalian panjang efektif dengan tebal rencana leher. Las sudut yang memikul gaya rencana per satuan panjang las, Vw harus memenuhi ketentuan sebagai berikut:

$$v_W * \leq \emptyset \ v_W \tag{2.38}$$

Gaya rencana per satuan paniang, Vw adalah jumlah vektor gaya rencana per satuan. Kekuatan nominal las sudut per satuan panjang harus dihitung sebagai berikut:

$$V_w = 0.6. f_{uw} t_f k_r$$
 (2.39)

Dimana:

= faktor reduksi kekuatan

fuw = kekuatan nominal las sudut per satuan panjang (MPa).

= lebar rencana leher (mm)

= faktor reduksi untuk memperhitungkan panjang hubungan lebih

yang di las, Lw. Untuk semua jenis hubungan lain, kr =1,0

2.4.6 Desain Struktur dengan Metode LRFD

Sifat mekanis baja memainkan peran krusial dalam desain konstruksi. Sifat-sifat ini ditentukan melalui uji tarik, yang melibatkan pemberian beban tarik pada sampel baja. Selama proses pengujian, besarnya beban dan perubahan panjang spesimen dicatat, yang memungkinkan adanya hubungan antara tegangan dan regangan material

penelitian, dan pendidikan diperbolehkan dengan mencantumkan sumber.



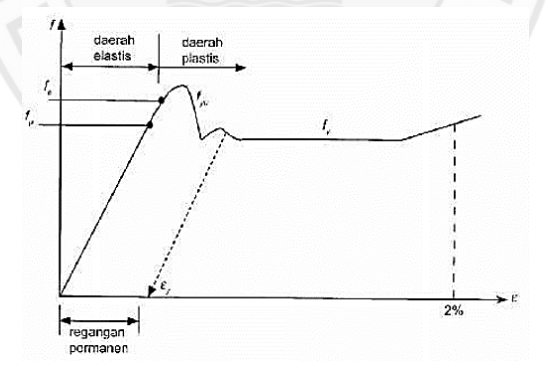
Hak Cipta Dilindungi Undang-Undang

Penggunaan untuk kepentingan akademik,

Gambar 2. 17 Kurva Hubungan Tegangan (f) vs Regangan (ε) (Sumber: Perencanaan Struktur Baja dengan Menggunakan Metode LRFD (Agus Setiawan, hal 19)

Hasil uji tarik disajikan dalam bentuk diagram tegangan-regangan. Titik fyu atau titik batas proporsional pada diagram menunjukkan batas hubungan linear antara tegangan dan regangan. Selama beban tidak melebihi titik ini, baja tetap berada dalam keadaan elastis, artinya jika beban dihilangkan, material dapat kembali ke bentuk semula. Namun, jika beban melebihi titik ini, baja memasuki fase plastis, di mana sifat elastisnya hilang dan terjadi deformasi permanen, sehingga baja tidak dapat kembali ke kondisi semula sebelum dibebani.

Ada dua pendekatan utama yang digunakan dalam perencanaan struktur baja, yaitu metode perencanaan berdasarkan tegangan izin atau Allowable Stress Design (ASD), dan metode perencanaan berdasarkan batas kekuatan atau Load and Resistance Factor Design (LRFD).



Gambar 2. 18 Kurva Tegangan – Regangan (sumber: Perencanaan Struktur Baja dengan menggunakan Metode LRFD (agusSetiawan, hal 19)

Berdasarkan grafik tersebut maka ada beberapa hal yang mendasari penulis Jniversitas Islam Indragiri menerapkan metode LRFD dalam penyelesaian laporan tugas akhirini, antara lain:

a. Pendekatan rasional yang ditawarkan oleh metode LRFD sangat menarik karena menjanjikan pemanfaatan material yang lebih efisien dan optimal untuk berbagai



kombinasi beban dan konfigurasi struktural. Lebih lanjut, LRFD cenderung menghasilkan struktur yang lebih aman daripada metode ASD, terutama ketika menggabungkan beban mati dan beban hidup, yang ditangani secara konsisten.

- b. Metode LRFD memberikan fleksibilitas dalam mengakomodasi informasi baru mengenai jenis beban dan variabilitasnya ketika data tersebut tersedia. Mengingat keterbatasan pengetahuan terkini mengenai beban dan variabilitasnya, pemisahan kapasitas pembebanan dan resistansi dalam pendekatan LRFD memungkinkan perubahan pada satu aspek tanpa memengaruhi aspek lainnya.
- c. Penyesuaian faktor beban lebih dan faktor resistansi dalam metode LRFD dapat dilakukan lebih mudah daripada perubahan nilai tegangan izin dalam metode ASD.
- d. Metode LRFD memfasilitasi integrasi desain yang lebih konsisten di berbagai jenis material. Hal ini karena variabilitas beban tidak secara langsung bergantung pada jenis material yang digunakan dalam desain. Suatu desain struktur harus menyediakan cadangan kekuatan yang diperlukan untuk menanggung beban layanan yakni struktur harus memiliki kemampuan terhadap kemungkinan kelebihan beban (overload). Kelebihan beban dapat terjadi akibat perubahan fungsi struktur dan dapat juga terjadi akibat terlalu rendahnya taksiran atas efek- efek beban yang mungkin akan terjadi.

Selain itu, kemungkinan kekurangan kekuatan material juga harus diperhitungkan. Penyimpangan dimensi pada elemen struktural, sekecil apa pun, dapat mengakibatkan kekuatan yang lebih rendah daripada yang dirancang semula. Secara umum, persamaan yang mewakili persyaratan keselamatan dapat dirumuskan sebagai berikut:

 $\phi Rn \ge \Sigma \gamma i Qi$ (2.40)

Dimana:

φ = faktor resistensi (faktor reduksi kekuatan)

Rn = kekuatan nominal (kekuatan)

Dalam persamaan ini, ruas kiri merepresentasikan kapasitas atau kekuatan suatu komponen atau sistem struktur, sementara ruas kanan menunjukkan total beban yang diperkirakan akan diterima oleh struktur. Pada sisi kapasitas, nilai kekuatan nominal (Rn) dikalikan dengan faktor reduksi kekuatan (faktor resistansi) untuk mendapatkan nilai kekuatan desain. Sementara itu, pada sisi beban, berbagai faktor pengali beban

. Dilarang memperbanyak atau mendistribusikan dokumen ini untuk tujuan komersial tanpa izin tertulis dari penulis atau pihak berwenang Penggunaan tanpa izin untuk kepentingan komersial atau Penggunaan untuk kepentingan akademik. penelitian, dan pendidikan diperbolehkan dengan mencantumkan sumber pelanggaran hak cipta dapat dikenakan sanksi sesuai dengan UU Hak Cipta di Indonesia

Hak Cipta Dilindungi Undang-Undang

Dilarang memperbanyak atau mendistribusikan dokumen ini untuk tujuan komersial tanpa izin tertulis dari

pendidikan diperbolehkan dengan mencantumkan sumber

Cipta Dilindungi Undang-Undang



lebih diterapkan untuk mendapatkan total beban terfaktor ($\sum \gamma \cdot Q$). Mengingat struktur jembatan ini umumnya memikul gaya aksial pada elemen rangka dan gaya lentur pada balok lantai kendaraan, pembahasan lebih lanjut dapat dijelaskan sebagai berikut:

2.4.6.1 Batang Tarik

Persyaratan keamanan struktur yang diberikan dalam LRFD (CG. Salmon, JE. Jhonson. Struktur Baja Desain dan Perilaku, Jilid 1, 1992 : 95) adalah :

Dimana:

φt = faktor resistensi yang berkaitan dengan kekuatan tarik

Tn = kekuatan nominal batang tarik

Tu = beban terfaktor pada batang tarik

Kekuatan desain ϕ t. Tn menurut LRFD lebih kecil dibanding dengan yang didasarkan pada pelelehan pada penampang bruto sebagai berikut :

 ϕt . Tn = ϕt . Fy . Ag = 0,90 . Fy . Ag (0,9 = Faktor reduksi kuat tarik leleh) Atau pada retakan pada penampang bersih :

$$\phi t$$
. Tn = ϕt . Fu . Ae = 0,75 . Fu . Ae (0,75 = Faktor reduksi kuat tarik fraktur)

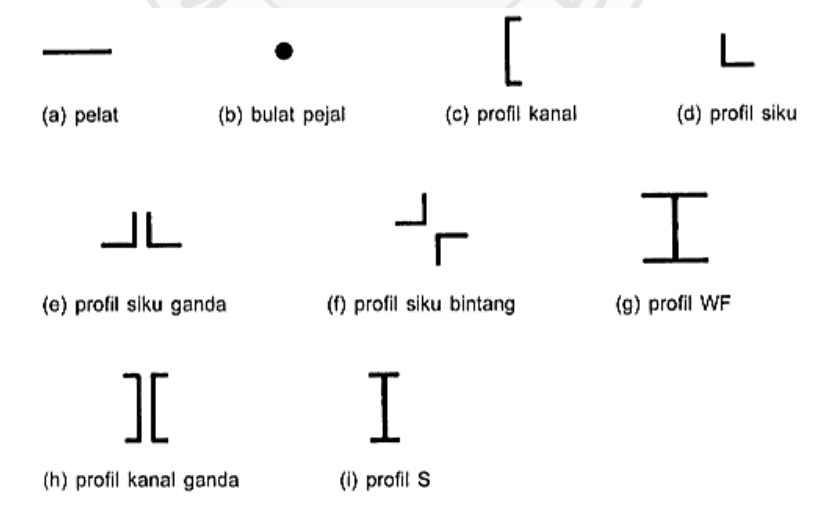
Dimana:

Ag = Luas Penampang kotor

Ae = Luas penampang bersih

Fy = Tegangan leleh material

Fu = Tegangan tarik putus



Gambar 2. 19 Penampang Batang-batang Tarik

Iniversitas Islam Indragiri

penulis atau pihak berwenang

pendidikan diperbolehkan dengan mencantumkan sumber.



(Sumber : Agus Setiawan, Perencanaan Struktur Baja dengan Metode LRFD, 2008: 29)

2.4.6.2 Batang Tekan

Persyaratan kekuatan dalam desain factor dan resistensi menurut LRFD (CG. Salmon, JE. Jhonson. Struktur Baja Desain dan Perilaku, Jilid 1, 1992 : 342) adalah:

$$\phi c \cdot Pn \ge Pu$$
(2.42)

Dimana:

 $\phi c = 0.85$ (factor resistensi untuk batang tekan)

Pn = kekuatan nominal batang tekan

Pu = beban layan terfaktor

Kekuatan nominal Pn dari batang tekan adalah:

 $Pn = Ag \cdot Fcr$

Dimana:

Ag = luas penampang bruto batang tekan

Fcr = tegangan kritis

Nilai Fcr tergantung pada parameter λc

(CG. Salmon, JE. Jhonson. Struktur Baja Desain dan Perilaku, Jilid 1, 1992 : 342) sebagai berikut :

a. Untuk $\lambda c \leq 1.5$

Fer =
$$(0.658\lambda^2 \text{ c})$$
 fy(2.43)

b. Untuk $\lambda c \ge 1.5$

$$Fcr = \frac{0,887}{\lambda^2 c}.$$
 (2.45)

Untuk memberikan keamanan batang dari bahaya tekuk maka LRFD memberikan spesifikasi tersendiri untuk parameter kerampingan (CG.Salmon, JE. Jhonson. Struktur Baja Desain dan Perilaku, Jilid 1, 1992 : 340)

$$\lambda c = \frac{K.L}{r} \sqrt{\frac{Fy}{\pi^2 E}}.$$
 (2.46)

Dimana:

 $\frac{KL}{r}$ = rasio kerampingan efektif

K = factor panjang efektif

L = panjang batang

R = radius girasi $\sqrt{\frac{I}{Ag}}$

iversitas Islam Indragiri



pelanggaran hak cipta dapat dikenakan sanksi sesuai dengan UU Hak Cipta di Indonesia

. Dilarang memperbanyak atau mendistribusikan dokumen ini untuk tujuan komersial tanpa izin tertulis dari penulis atau pihak berwenang

Ry= radius girasi $\sqrt{\frac{Iy}{Ag}}$

Rx = radius girasi $\sqrt{\frac{Ix}{Ag}}$

I = momen inersia

E = modulus elastisitas baja (210.000 Mpa)

Hak Cipta Dilindungi 2.4.6.3 Kuat Tekan Nominal Akibat Lentur

Tekuk lentur umumnya merupakan faktor penentu kekuatan elemen struktur yang dibebani beban tekan aksial murni. Hingga saat ini, pembahasan elemen struktur tekan sebagian besar berfokus pada perilaku struktur yang gagal akibat tekuk lentur. Fenomena tekuk ini menyebabkan defleksi terhadap sumbu lemah, yaitu sumbu dengan rasio kelangsingan tertinggi. Oleh karena itu, setiap elemen struktur tekan berpotensi mengalami kegagalan struktural akibat tekuk lentur. (Agus Setyawan, Perancangan Struktur Baja dengan Metode LRFD, 2008: hlm. 66).

Menurut RSNI T - 03 – 2005; halaman 19 Kuat tekan nominal akibat tekuk-lentur, Nn, dari komponen struktur tekan dengan elemen-elemen penampangnya mempunyai rasio lebar-tebal, λc, lebih kecil dari yang ditentukan sebagai berikut:

$$Nn = (0.66 \,^{\lambda}c^{\,2})Agfy$$
.....(2.47)

$$Nn = \frac{0.88}{\lambda c} Ag. fy. \tag{2.48}$$

$$Nn = (0.66 \, {}^{\lambda}c^{2}) Agfy. \tag{2.47}$$

$$Nn = \frac{0.88}{\lambda c} Ag. fy. \tag{2.48}$$

$$\lambda c = \frac{lk}{rn} \sqrt{\frac{ly}{E}} \tag{2.49}$$

$$Lk = kcL \tag{2.50}$$

$$Lk = kcL \qquad (2.50)$$

Dimana:

Ag = luas penampang bruto, (mm)

fy = tegangan leleh, (MPa)

 $\lambda c = parameter kelangsingan$

kc = faktor panjang tekuk untuk komponen struktur jembatan rangka (mm).

E = modulus elastisitas bahan baja, (MPa)



Hak Cipta Dilindungi Undang-Undang

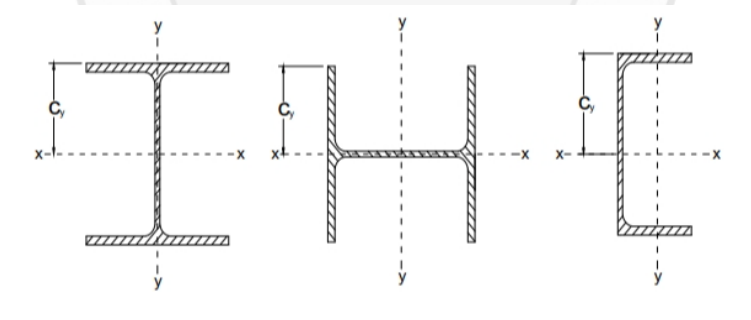
. Dilarang memperbanyak atau mendistribusikan dokumen ini untuk tujuan komersial tanpa izin tertulis dari penulis atau pihak berwenang Penggunaan tanpa izin untuk kepentingan komersial atau Penggunaan untuk kepentingan akademik penelitian, dan pendidikan diperbolehkan dengan mencantumkan sumber. pelanggaran hak cipta dapat dikenakan sanksi sesuai dengan UU Hak Cipta di Indonesia

Garis putus menunjukkan posisi kolom pada saat tertekuk					700		
Harga K teoretis	0,5	0,7	1,0	1,0	2,0	2,0	
K desain	0,65	0,80	1,2	1,0	2,10	2,0	
Keterangan			1				

Gambar 2. 20 Faktor Panjang efektif

(Sumber : Agus Setiawan, Perencanaan Struktur Baja dengan Metode LRFD, 2008: 57) 2.4.6.4 Batang Lentur

Tegangan pada penampang umumnya dapat dihitung menggunakan rumus lentur sederhana, terutama ketika beban bekerja sejajar dengan salah satu sumbu utama penampang. Jika suatu penampang memiliki setidaknya satu sumbu simetri dan dibebani melalui pusat gesernya, yang mengakibatkan momen lentur dalam arah acak, maka komponen momen lentur terhadap sumbu utama, yaitu Mxx dan Myy, dapat ditentukan. Dengan demikian, tegangan pada penampang dapat dihitung menggunakan persamaan berikut:



Gambar 2. 21 Penampang batang lentur

(sumber: Agus Setiawan, Perencanaan Struktur Baja dengan Metode LRFD, 2008: 82)(2.51)

Dimana:

Universitas Islam Indragiri

f = tegangan lentur

Mx, My = Momen Lentur Arah x dan y

= Modulus Penampang Arah x dan y Sx, Sy

Ix, Iy = Momen Inersia arah x dan y . Dilarang memperbanyak atau mendistribusikan dokumen ini untuk tujuan komersial tanpa izin

penelitian, dan

pendidikan diperbolehkan dengan mencantumkan sumber

tertulis dari

penulis atau pihak berwenang

Undang-Undang

Penggunaan untuk kepentingan akademik.



Cx, Cy = Jarak dari titik berat ke tepi serat arah x dan y

2.5 Perencanaan Struktur Bawah

Struktur bawah (sub structure) yang berupa pondasi, merupakan struktur yang berfungsi untuk meneruskan beban-beban dari struktur atas ke dalam lapisan tanah. Dalam menentukan jenis pondasi yang sesuai kita perlu mempertimbangkan beberapa hal sebagai berikut:

- Cipta Dilindungi Keadaan tanah, seperti parameter tanah, daya dukung tanah, dll
 - Jenis struktur atas (fungsi bangunan)
 - Anggaran biaya yang dibutuhkan
 - Waktu pelakasanaan yang direncanakan

2.5.1 Parameter tanah

Sebelum menentukan jenis pondasi yang akan digunakan, terlebih dahulu harus diketahui kondisi tanah tempat bangunan akan didirikan. Untuk keperluan tersebut, maka dilakukan penyelidikan tanah (soil investigation). Penyelidikan yang dilakukan terdiri dari penyelidikan lapangan (field test) dan penyelidikan laboratorium (laboratory test).

Penyelidikan tanah dimaksudkan untuk mengetahui kondisi geoteknik, baik keadaan, jenis dan sifat-sifat yang menjadi parameter dari tanah pondasi rencana. Yang dimaksud dengan kondisi geoteknik adalah:

- Struktur dan penyebaran tanah serta batuan a.
- b. Sifat fisis tanah
- Sifat teknis tanah/batuan c.
- d. Kapasitas dukung tanah terhadap pondasi yang diperbolehkan sesuai dengan tipe pondasi yang akan digunakan.

2.5.2 Analisis Daya Dukung tanah

Perhitungan daya dukung tanah sangat diperlukan guna mengetahui kemampuan tanah sebagai perletakan/pemakaian struktur pondasi. Daya dukung tanah merupakan kemampuan tanah dalam mendukung beban baik berat sendiri struktur pondasi maupun beban struktur atas secara keseluruhan tanpa terjadinya keruntuhan. Nilai daya dukung tersebut dibatasi oleh suatu daya dukung batas (ultimate bearing capacity), yang merupakan keadaan saat mulai terjadi keruntuhan.

Jniversitas Islam

penelitian, dan pendidikan diperbolehkan dengan mencantumkan sumber.



Sebelum kita menentukan jenis pondasi yang akan digunakan, kita harus menentukan daya dukung ijin (qu) yang merupakan hasil bagi dari daya dukung batas (qult) dengan safety factor.

2.5.3 Pemilihan Tipe Pondasi

Berdasarkan hasil penyelidikan tanah di lokasi perencanaan yang telah dilakukan dimana jembatan ini akan dibangun, telah ditemukan bahwa lapisan tanah keras terletak pada kedalaman tertentu. Sehingga dalam hal ini diputuskan untuk menggunakan jenis pondasi tiang pancang.

Analisa daya dukung tiang tunggal ditentukan berdasarkan dibawah ini

Kekuatan karakteristik beton

$$\sigma_b$$
 = 0.33 x $f'c$: $f'c$ = kekuatan karakteristik beton

$$P_{tiang} = \sigma_b \times A_{tiang}$$

Dimana:

= Kekuatan pikul tiang yang diijinkan P_{tiang}

= Tegangan tekan tiang terhadap penumbukan σ_h

= Luas penampang tiang pancang A_{tiang}

Kekuatan karakteristik beton

Perhitungan Pall untuk tiang bor diambil dari rumus Pall tiang pancang dengan reduksi sebesar 30% karena kehilangan keseimbangan tekanan tanah sewakti dilakukan pengeboran yang mengakibatkan berkurangnya daya dukung. Pada perhitungan akan ditinjau dalam tiga rumus perhitungan daya dukung tanah

Perhitungan tiang pancang didasarkan pada tahan ujung danhambatan pelekat, persamaan daya dukung yang dijinkan adalah:

$$Q_{tiang} = \frac{A_{tiang} x qc}{3} + \frac{o x fc}{5} \tag{2.52}$$

Tahanan Ujung (End Bearing)

$$Q_{tiang1} = \frac{qc \times A}{fk_1}....(2.53)$$

Dimana:

qc =Conus resistance

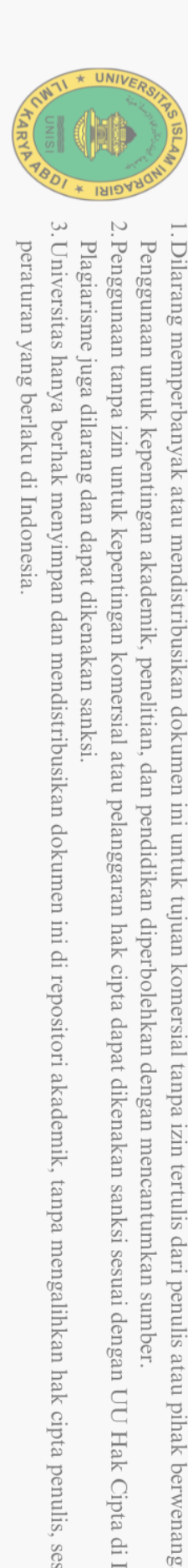
=Luas penampang tiang pancang

 fk_1 =Faktor keamanan = 3

Tahanan Batang (Friction File)

∪niversitas Islam Indragiri

penulis atau pihak berwenang



. Universitas hanya berhak menyimpan dan mendistribusikan dokumen ini di repositori akademik, tanpa mengalihkan hak cipta penulis, sesuai dengan peraturan yang berlaku di Indonesia penelitian, dan pendidikan diperbolehkan dengan mencantumkan sumber pelanggaran hak cipta dapat dikenakan sanksi sesuai dengan UU Hak Cipta di Indonesia

Dimana:

=Total Friction fc

0 =Keliling tiang pancang

=Faktor keamanan = 5 fk_2

Daya Dukung Total

$$Q_{tiang} = Q_{tiang1} + Q_{tiang2} \dots (2.55)$$

Dimana:

Hak Cipta Dilindungi Undang-Undang

= Daya dukung total Q_{tiang}

= Daya dukung tahanan ujung Q_{tiang1}

= Daya dukung tahanan batang Q_{tiang2}

1. Data N-SPT

Berdasarkan daya dukung tiang yang diijinkan (Ra) dapat diperoleh rumus sebagai berikut:

sebagai berikut :
$$Ra = \frac{1}{SF} \cdot Ru = \frac{1}{SF} (Rp + Rf) \dots (2.56)$$
 dimana :

dimana:

= Safety Factor (angka keamanan) = 3,0 SF

= daya dukung batas pada tanah pondasi (ton) Ru

= daya dukung terpusat tiang (ton) Rp

= gaya geser pada dinding tiang (ton) Rf

$$Ru = qd \cdot A + O \sum li \cdot fi \qquad (2.57)$$

dimana:

= daya dukung terpusat tiang (ton) qd

= luas penampang tiang (cm2) = 30*30 = 900 cm2 Α

keliling penampang tiang (cm) = 4*30 = 120 cm O

tebal lapisan tanah dengan memperhitungkan geseran Li

dinding tiang

Fi = besarnya gaya geser maksimum dari lapisan tanah dengan

memperhitungkan geseran dinding tiang (ton/m2)

Dari ke 3 hasil analisa diatas yang akan dipakai adalah nilai yang terkecil.

penelitian, dan pendidikan diperbolehkan dengan mencantumkan sumber

pelanggaran hak cipta dapat dikenakan sanksi sesuai dengan UU Hak Cipta di Indonesia



2.5.4 Perencanaan Pile cap pada Abutmen

Menentukan jumlah tiang pancang jumlah tiang pancang yang dibutuhkan untuk menahan beban dihitung sebagai berikut :

$$Kebutuhan \ tiang = \frac{Nu}{Daya \ dukung \ tiang \ tunggal} \(2.58)$$

dimana:

Nu = Gaya normal yang dialami satu titik pondasi yang telah ditentukan (Ton)

Menghitung efisiensi kelompok tiang

Efisiensi kelompok tiang dalam satu pile cap dihitung sebagai berikut :

$$Eff = 1 - \frac{\varphi}{90} \left[\frac{(n-1)m + (m-1)n}{m \times n} \right]. \tag{2.59}$$

dimana:

m = Jumlah baris

n = Jumlah tiang

 φ = Arc tan (d/s), dalam derajat

d = Diameter tiang

s = Jarak antar tiang

Syarat jarak tiang as - as:

$$2,5 D \le S \le 3 D \ atau S \le \frac{1.57 x d x m x n}{m+n-2}$$
 (2.60)

Syarat jarak tiang ke tepi : $S \ge 1,25 D$

Perhitungan Beban Maksimum untuk Kelompok Tiang yang Menerima Beban Eksentris (Beban Normal Sentris dan Momen)

$$P_{max} = \frac{\sum Pv}{n} \pm \frac{Mx*Ymax}{n_y \sum y^2} \pm \frac{My*Xmax}{n_x \sum x^2}$$
 (2.61)

dimana:

 P_{max} = Beban maksimum yang diterima 1 tiang pancang

 $\sum Pv$ = Jumlah beban vertikal

n = Banyaknya tiang pancang

Mx = Momen arah X

My = Momen arah Y

 X_{max} = absis maksimum (jarak terjauh) tiang ke pusat berat kelompok tiang

 y_{max} = Ordinat maksimum (jarak terjauh) tiang ke pusat berat

Universitas Islam Indragiri

penulis atau pihak berwenang

penelitian, dan pendidikan diperbolehkan dengan mencantumkan sumber

pelanggaran hak cipta dapat dikenakan sanksi sesuai dengan UU Hak Cipta di Indonesia



.Penggunaan tanpa izin untuk kepentingan komersial atau

Penggunaan untuk kepentingan akademik

Undang-Undang

kelompok tiang

 N_X = banyak tiang dalam satu baris arah x

 $N_{\rm y}$ = banyak tiang dalam satu baris arah y

 $\sum y^2$ = Jumlah kuadrat jarak jauh arah Y (absis – absis) tiang

 $\sum x^2$ = Jumlah kuadrat jarak jauh arah X (ordinat – ordinat) tiang

 P_{max} didapat dari hasil output SAP2000, dibandingkan P_{eff}

$\sum y^2 = \text{Jumlah kuad}$ $\sum x^2 = \text{Jumlah kuad}$ $P_{\text{max}} \text{ didapat dari hasil } 0$ **2.6 Penelitian Terhadulu**Beberapa penelitian ya

Beberapa penelitian yang telah dilakukan mengenai perencanaan jembatan yaitu sebagai berikut:

Afufik Hidayat (2016) melakukan penelitian tentang perencanaan struktur atas jembatan rangka baja tipe K-truss dengan metode LRFD pada Jembatan Kalilanang yang terletak di Kelurahan Pandanrejo, Kecamatan Bumianji, Kota Baru. Tujuan penelitian adalah untuk menentukan tebal pelat lantai kendaraan dan pelat trotoar, dimensi baja WF yang digunakan, dan jumlah baut pada setiap titik sambungan. Hasil penelitian menunjukkan bahwa tebal pelat lantai kendaraan sebesar 250 mm, sedangkan tebal pelat trotoar mencapai 550 mm. Dimensi baja WF yang digunakan untuk gelagar memanjang sebesar 300x150x6,5x9 mm, untuk gelagar melintang 400x300x10x16 mm, dan untuk gelagar utama 400x400x13x21 mm. Selanjutnya, kapasitas desain struktur jembatan rangka baja K-truss mencapai 726.537,803 kg, nilai tertinggi berdasarkan perhitungan: $Pn=Ag\times Fcr$

Santi Yatnikasari (2021) melakukan penelitian "Alternatif Perencanaan Jembatan Rangka Baja dengan Metode LRFD di jembatan gelatik Kota Samarinda" Berdasarkan hasil analisa dari data dan perencanaan yang penulis lakukan, maka dapat disimpulkan bahwa dimensi plat dan tulangan yang dipakai pada lantai kendaraan dan trotoir pada perencanaan jembatan rangka baja adalah: A. Plat Lantai Trotoir: Panjang lantai kendaraan = 39 m Lebar lantai kendaraan = 0,5 m Jumlah trotoir rencana = 2 Dipakai tulangan pokok= 18–100 mm Dipakai tulangan bagi = 8 – 100 mm B. Plat Lantai Kendaraan: Panjang lantai kendaraan = 39 m Lebar lantai kendaraan = 7 m Dipakai plat beton = 0,2 m Dipakai tulangan pokok = 18–100 mm Dipakai tulangan bagi = 8 – 100 mm C. Dimensi profil baja (WF) yang dipakai dalam perencanaan gelagar memanjang, gelagar melintang, dan gelagar induk: a. Dimensi Gelagar Memanjang: WF 12 x 31 b. Dimensi Gelagar Melintang: WF 27 x 145 c. Dimensi Gelagar Induk: WF 300 x 300 x

Universitas Islam Indrag

penelitian, dan pendidikan diperbolehkan dengan mencantumkan sumber.

pelanggaran hak cipta dapat dikenakan sanksi sesuai dengan UU Hak Cipta di Indonesia



. Penggunaan tanpa izin untuk kepentingan komersial atau

Penggunaan untuk kepentingan akademik.

12 x 12 D. Dimensi perencanaan profil ikatan angin pada jembatang rangka : a. Dimensi Ikatan Angin Atas Diagonal : L 75 x 75 x 10 b. Dimensi Ikatan Angin Vertikal : WF 5 x 16 c. Dimensi Ikatan Angin Bawah : L 90 x 90 x 11 E. Dimensi baut yang dipakai dalam perencanaan sambungan : a. Sambungan Gelagar Memanjang dan Gelagar Melintang: Dipakai baut dengan dimensi = 19 mm Tebal Plat simpul = 10 mm b. Sambungan Gelagar Melintang dan Gelagar Induk : Dipakai baut dengan dimensi = 19 mm Tebal Plat simpul = 10 mm c. Sambungan Batang Gelagar Induk : Dipakai baut dengan dimensi = 22,23 mm Tebal Plat simpul = 10 mm d. Sambungan Ikatan Angin Atas dan Bawah : Dipakai baut dengan dimensi = d19 mm

Risky Amaliya Putri melakukan penelitian "Perencanaan Jembatan Rangka Baja bentang 50m" Proses pengolahan data dari perencanaan jembatan guna mendapatkan hasil perhitungan struktur dari jembatan itu sendiri dapat dijelaskan sebagai berikut : 1. Dari data spesifikasi jembatan mulai dilakukan perhitungan struktur dari bangun atas jembatan yang memiliki urutan perhitungan sebagai berikut : a. Perhitungan sandaran. b. Perhitungan trotoar c. Perhitungan pelat lantai kendaraan d. Perhitungan gelagar membujur e. Perhitungan gelagar melintang sebelum komposit f. Perhitungan gelagar melintang setelah komposit g. Perhitungan ikatan angin h. Perhitungan rangka induk 2. Setelah perhitungan struktur bangunan atas telah selesai dan dikontrol hasilnya maka perhitungan dilanjutkan pada perhitungan struktur bangunan bawah jembatan dengan urutan perhitungan sebagai berikut : a. Perhitungan pelat injak b. Perhitungan abutment c. Perhitungan pondasi 3. Selanjutnya setelah perhitungan stuktur telah selesai maka dilanjutkan dengan pembuatan gambar perencanaan dari jembatan tersebut. 4. Lalu pembuatan persyaratan teknis yang digunakan. 5. Kemudian dilakukan perhitungan engineering estimate jembatan dan pembuatan kurva s. Adapun hasil dari penelitian tersebut 1. Pada perencanaan ini digunakan gelagar melintang dengan perifl WF 800 x 300 x 16 x30 dan gelagar membujur menggunakan profil WF 350 x350 x 13 x 13, sedangkan rangka induk menggunakan profil WF 400 x 400 x 20 x 35. 2. Pada perencanaan akhir didapat lendutan rangka induk sebesar 7,41 cm dimana lebih kecil dari pada lendutan yang diijinkan sebesar 10 cm. 3. Untuk perencanaan bangunan bawah jembatan didapatkan pondasi mini pile sebagai pondasi dengan kedalam 5 meter, dimana pada tiap abutmentnya terdapt mini pile sejumlah 55 buah. 4. Anggaran biaya

Universitas Islam Indragiri

penelitian, dan pendidikan diperbolehkan dengan mencantumkan sumber.

pelanggaran hak cipta dapat dikenakan sanksi sesuai dengan UU Hak Cipta di Indonesia



Penggunaan tanpa izin untuk kepentingan komersial atau

Penggunaan untuk kepentingan akademik,

yang direncanakan dalam perhitungan ini adalah sebesar Rp 5.543.070.300, dengan durasi pengerjaan selama 172 hari.

M Denial Fahmi (2016) melakukan penelitian "Perencanaan Abutment dan Timbunan di belakang Abutmen Serta Perbaikan Tanah pada Jembatan Kereta api jalur Ganda Di Kali Lamong" Tujuan dari Tugas Akhir ini adalah merencanakan abutment jembatan dan timbunan di belakang abutmen yang stabil dan tidak longsor, serta sistem pengamanan jembatan lama agar tidak terpengaruh saat pelaksanaan konstruksi jembatan baru. Dalam perencanaan Tugas Akhir ini dapat diperoleh kesimpulan yaitu: 1. Tinggi awal timbunan (Hinitial) yang harus diletakkan sebelum pemampatan terjadi adalah 4,3m. 2. Total Settlement (Sc) yang harus dihilangkan adalah sebesar 1,755 m. Untuk menghilangkan 90% dari total settlement (U% = 90%) diperlukan waktu 12 minggu. Metode perbaikan tanah yang digunakan untuk mempercepat pemampatan adalah dengan cara pola pemasangan PVD segi tiga, jarak pemasangan 1 m. Dari perhitungan daya dukung tanah dengan metode Luciano de Court didapat kedalaman tiang untuk menahan beban yang ada sedalam 29 m dengan memakai tiang pancang berdiameter 50 cm sebanyak 15 tiang pancang.

Universitas Islam Indragiri